

บทที่ 3

เลเซอร์ไดโอด

การศึกษาในส่วนนี้จะประกอบด้วยการสร้างชุดเครื่องมือวัดเลเซอร์และวงจรไดโอด และชุดทดลองในส่วนของการสร้างการไฟลฟองอากาศแบบจำลองฟองอากาศสำหรับทำการสอนเทียน เพื่อหาความสัมพันธ์ของสัญญาณที่ออกมาจากอุปกรณ์เลเซอร์ไดโอดและขนาดของรัศมีความโค้งที่ปลายยอดฟองอากาศ ซึ่งเนื้อหาจะประกอบด้วย 3 ส่วนหลักคือ การหาความสัมพันธ์ด้วยการทดลองใช้อุปกรณ์วัดกับแบบจำลองของฟองอากาศ การหาความสัมพันธ์ด้วยแบบจำลองทางคณิตศาสตร์ และในส่วนสุดท้ายเป็นการทดลองนำอุปกรณ์วัดไปใช้ทดลองจริง

หลักการของเครื่องมือวัดเลเซอร์ไดโอดคือ วงจรไดโอดจะยอมให้มีกระแสไฟฟ้าไหลผ่าน เมื่อมีแสงเลเซอร์ตกกระทบบนเซนเซอร์ของไดโอด และกระแสไฟฟ้านั้นเมื่อไหลผ่านตัวด้านหน้า ในวงจรจะทำให้มีความต่างศักย์ต่อกันร่วมตัวด้านหน้าขึ้น สำหรับการใช้งานทั่วไปจะยิงแสงเลเซอร์ที่ลูกชุดทดลองที่มีผนังโปร่งใส ในฝั่งตรงกันข้ามของชุดทดลองจะมีไดโอดตั้งรับแสงเลเซอร์ไว เมื่อมีฟองกําช์ใหมนาขวางการไหลลำแสงเลเซอร์จะเบี่ยงเบนทิศทางไปและทำให้กระแสไฟฟ้าและความต่างศักย์ไฟฟ้าลดลงตามลำดับ ดังนั้นจึงสามารถตรวจสอบว่ามีฟองกําช์ใหมนาตำแหน่งที่ติดตั้งเลเซอร์ไดโอดไว้ได้ซึ่งเป็นหลักการของงานวิจัยใน Kikutani et al. (2008) และ Ong and Thome (2009) ในการศึกษานี้ มีความสนใจว่าการลดลงของความเข้มเลเซอร์ที่ตกรอบไดโอดซึ่งเป็นฟังก์ชันของการหักเหของแสงจะมีความสัมพันธ์อย่างไรกับรัศมีความโค้งของฟองกําช์

3.1 ความรู้พื้นฐาน

ในการทำงานวิจัยนี้ จะเป็นต้องมีความรู้พื้นฐานหลายด้าน เช่น ประภากลศาสตร์ของแสงที่เกี่ยวข้อง การหักเหของแสงในกรณีที่แสงเคลื่อนผ่านตัวกลางที่ด้านหน้าเดียวกัน การสะท้อนและการดูดกลืนของแสงขณะผ่านตัวกลาง และในส่วนสุดท้ายก็จะกล่าวถึงคุณสมบัติของโพโตไดโอด ซึ่งเป็นอุปกรณ์ตรวจจับแสงที่ใช้ว่ามีคุณสมบัติอย่างไรบ้างและมีพารามิเตอร์ใดที่ควรพิจารณาก่อนเลือกโพโตไดโอดให้เหมาะสมกับการทดลอง โดยรายละเอียดต่าง ๆ มีดังต่อไปนี้

3.1.1 ประภากลศาสตร์ของแสงขณะเคลื่อนที่ผ่านตัวกลาง

การเคลื่อนที่ของแสงผ่านตัวกลางที่มีค่าดัชนีหักเหแตกต่างกันจะมีประภากลศาสตร์ทางแสงหลายอย่างเกิดขึ้น ซึ่งตัวอย่างดังต่อไปนี้เป็นแค่ส่วนหนึ่งของประภากลศาสตร์ที่จะเกิดขึ้นได้

- การสะท้อน (reflection) เป็นประภากลศาสตร์ที่เกิดขึ้นระหว่างที่แสงเคลื่อนที่ผ่านตัวกลางซึ่งอาจจะเกิดขึ้นทั้งหมดหรือบางส่วนขึ้นอยู่กับลักษณะตัวกลางที่แสงเคลื่อนที่ผ่าน การสะท้อนแบ่งออกเป็นสองประเภทตามการเคลื่อนที่ผ่านตัวกลาง คือ Specular reflection เป็นการสะท้อนที่สามารถคำนวณหาทิศทางการสะท้อนได้อย่างแน่นอน เช่น การสะท้อนของรังสีของแสงบน

กระเจก สำหรับอีกประเภทหนึ่งคือ Diffusion reflection เป็นการสะท้อนที่ไม่สามารถคำนวณทิศทางการสะท้อนได้ไม่แน่นอน เช่น การสะท้อนของรังสีของแสงบนตัวกลางชุบchrome

- การหักเห (refraction) ถูกนิยามเป็นการเบี่ยงเบนไปของรังสีของแสงไปจากทิศทางเดิมหลังจากเคลื่อนที่ผ่านตัวกลางที่มีค่าดัชนีหักเหไม่เท่ากัน ซึ่งมุมที่ลำแสงเบี่ยงเบนไปขึ้นกับค่าดัชนีหักเหของตัวกลางที่แสงเคลื่อนที่ผ่าน และค่าดัชนีหักเหนี้เป็นฟังก์ชันทั้งความยาวคลื่นแสงและอุณหภูมิ

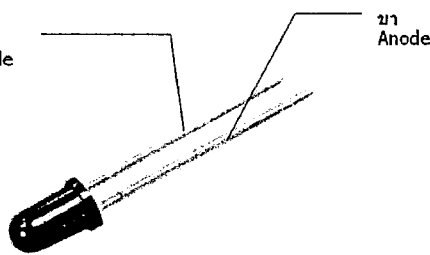
- การดูดกลืนของแสง (absorption) เป็นปรากฏการณ์ของแสงสังเกตได้จากสีของวัตถุที่แสงตกกระทบ เช่น การที่ใบไม้เป็นสีเขียวนั้นก็ เพราะว่าวัตถุดูดกลืนแสงสีแดงไป หรือการที่เห็นวัตถุเป็นสีดำ คือ วัตถุดูดกลืนแสงในช่วงที่มองเห็นได้ไปหมด ซึ่งการดูดกลืนจะเกี่ยวข้องกับการดูดกลืนพลังงานของแสงหลังจากที่แสงเคลื่อนผ่านตัวกลางด้วย

ในprocurement นี้เมื่อทำการจ่ายเลเซอร์ผ่านแบบจำลองก็จะพบกับปรากฏการณ์ของแสงตามที่กล่าวมาข้างต้น เช่น การสะท้อนแบบ diffraction ออกจากแบบจำลอง, การหักเหของลำเลเซอร์เมื่อฉายผ่านตัวกลางที่มีค่าดัชนีหักเหไม่เท่ากันซึ่งในที่นี้คือส่วนที่เป็นอากาศและส่วนที่เป็นของเหลว รวมถึงการดูดกลืนของแสงเลเซอร์หลังจากฉายผ่านแบบจำลองแล้ว โดยพบว่าความเข้มของเลเซอร์ที่ตกรอบทุบได้โดยจะลดลงเมื่อเปรียบเทียบกับการฉายเลเซอร์ไปที่ได้โดยตรงโดยไม่ผ่านแบบจำลอง

3.1.2 โฟโต้ไดโอด

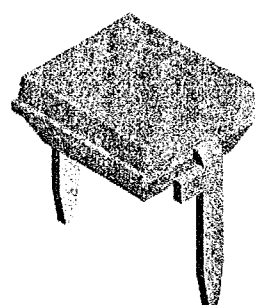
โฟโต้ไดโอดคืออุปกรณ์ชนิดหนึ่งที่ประกอบด้วยสารกึ่งตัวนำ ถ้าถูกกระตุ้นด้วยแสงก็จะก่อให้เกิดกระแสไฟฟ้านี้เรียกว่าก็อปปาร์ติคูล่าไฟฟ้า โดยทั่วไปแล้วโครงสร้างของโฟโต้ไดโอดประกอบด้วยสารกึ่งตัวนำชนิด P และชนิด N ต่อชั้นกัน เช่นเดียวกับไดโอดธรรมดា อาจจะผลิตขึ้นได้จากสารกึ่งตัวนำที่มีส่วนผสมของ元素 เช่น ซิลิคอน (Si) เจร์เมเนียม (Ge) หรือ เชลเลเนียม (Se) เป็นต้น สารกึ่งตัวนำดังกล่าวอาจจะถูกบรรจุในกระเบื้องโลหะหรือพลาสติกทึบแสง มีส่วนบนหรือส่วนด้านหน้าเป็นเลนส์บุนรวมแสง มีจุดโฟกัสของแสงตกกระทบที่รอยต่อ PN มีขนาดประมาณ 2 ไมครอน หรือเล็กกว่า แต่ใหญ่กว่า 3-4 ไมครอน หรืออาจมีลักษณะอย่างอื่นตามการออกแบบเพื่อให้มีความเหมาะสมในการนำไปใช้งานต่างๆ และหากแบ่งตามโครงสร้างภายในและการนำไปใช้งานจะแบ่งได้เป็น 4 ประเภท คือ PIN โฟโต้ไดโอด, Schottky type โฟโต้ไดโอด, APD avalanche โฟโต้ไดโอด โดยทั่วไปโฟโต้ไดโอดทั้ง 4 ชนิดจะถูกนำไปใช้เพื่อตรวจจับตัวแหนง สี การตรวจจับวัตถุ หรือ ความเข้มของแสง

ข่า
Cathode



(ก) ไดโอดทรงกระบอก

ข่า
Anode



(ข) ไดโอดทรงสี่เหลี่ยมจัตุรัส

รูปที่ 3-1 โฟโต้ไดโอดที่เลือกมาใช้สำหรับการทดลอง

การทำงานของโฟโต้ไดโอดเริ่มต้นเมื่อมีแสงตกกระทบที่โฟโต้ไดโอด โดยแสงที่ตกกระทบจะมีพลังงานไฟฟ่อนไปประดับนบริเวณ depletion region ทำให้อิเล็กตรอนวิ่งไปที่ขาแคโทดส่วนโซลจะวิ่งไปที่แอดโนดเกิดเป็นกระแสไฟแօสຍອນ โดยกระแสไฟแօสຍອนจะมีความความสัมพันธ์กับความเข้มของแสง โดยสังเกตได้ว่าหากเพิ่มค่าความเข้มของแสงขึ้นแล้วกระแสไฟแօสຍອนจะมีค่าเพิ่มขึ้นด้วย (Rozzoni, 1993) รูปที่ 3-2 แสดงหลักการทำงานของโฟโต้ไดโอด สำหรับการเลือกโฟโต้ไดโอดเพื่อที่จะใช้งานต่าง ๆ ให้เหมาะสม จะต้องพิจารณาคุณสมบัติที่สำคัญ ดังนี้

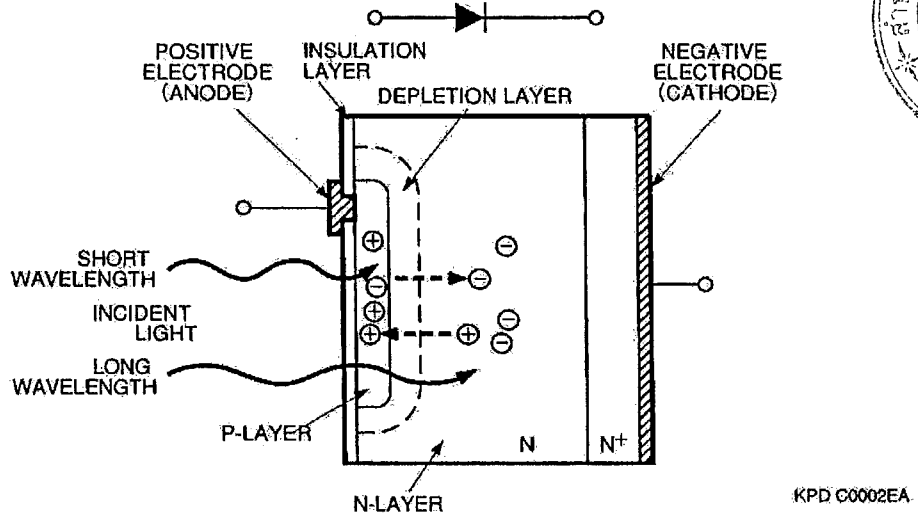
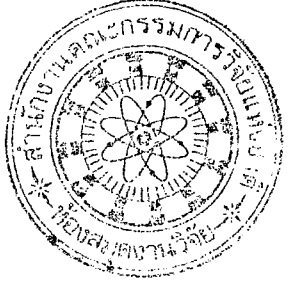
- Photo sensitivity (S) คืออัตราส่วนของกระแสไฟฟ้าที่เกิดขึ้นหลังจากถูกกระทบด้วยพลังงานแสงที่ตกกระทบนโฟโต้ไดโอด มีหน่วยเป็น A/W ซึ่งโดยทั่วไปมักจะแสดงผลเป็นความสัมพันธ์ระหว่างค่า relative sensitivity กับความยาวคลื่นแสง โดย relative sensitivity คือ การนำค่า sensitivity ที่ความยาวคลื่นใดๆไปเทียบกับค่า sensitivity ณ ความยาวคลื่นที่ให้ค่า sensitivity สูงสุด

- Dark current (I_D) คือกระแสไฟฟ้าที่มีค่าน้อยมาก เกิดขึ้นเมื่อมีการทำการทำไฟในแօสຍອนในขณะที่ไม่มีแสงตกกระทบ ซึ่งกระแสดังกล่าวเป็นสัญญาณรบกวนขณะทำการไฟแօสຍອน

- Noise equivalent power (NEP) คือ พลังงานของแสงน้อยที่สุดที่โฟโต้ไดโอดสามารถตรวจจับได้ การทราบค่าดังกล่าวทำให้สามารถเลือกโฟโต้ไดโอดให้เหมาะสมกับพลังงานที่ได้จากแหล่งกำเนิดแสงที่ใช้งานได้ ซึ่งสามารถคำนวณจากอัตราส่วนระหว่างสัญญาณกระแสไฟฟ้ารบกวน (noise current) ที่ bandwidth เท่ากับ 1 Hz กับค่า photo sensitivity ณ ความยาวคลื่นที่ให้ค่า sensitivity สูงสุด ดังแสดงในสมการที่ 3-1

$$NEP [W/Hz^{1/2}] = \text{Noise current } [A/Hz^{1/2}] / \text{Photo sensitivity at } \lambda_p [A/W] \quad (3-1)$$

- Reverse voltage (V_R) คือ ค่าความต่างดันศักย์ที่มากที่สุดที่สามารถทำการไฟแօสຍອนให้แก่โฟโต้ไดโอดได้ก่อนที่จะไหม้



รูปที่ 3-2 หลักการทำงานของโฟโต้ไดโอด เมื่อมีแสงที่มีความยาวคลื่นเหมาะสม มาตกกระทบ จะทำให้เกิดอิเล็กตรอนอิสระขึ้น

3.1.3 เลเซอร์

เลเซอร์เป็นแสงที่แตกต่างจากแสงอื่น ๆ คือ เป็นแสงสีเดียว (Monochromaticity) ซึ่งเป็นสมบัติสำคัญของการนีนของเลเซอร์ ซึ่งหมายถึงแสงเลเซอร์มีความยาวคลื่นเพียงค่าเดียว หากพิจารณาแสงที่ปล่อยจากต้นกำเนิดแสงที่พนโดยทั่วไปในชีวิตประจำวัน เช่น หลอดไฟฟ้า และดวงอาทิตย์ แสงจากหลอดไฟฟ้าและดวงอาทิตย์จะเป็นแสงสีขาว ถ้าให้แสงสีขาวนี้ผ่านปริซึมจะเห็นแถบสีต่าง ๆ เรียงกันอย่างต่อเนื่องจากสีขาวถึงสีแดง เรียกว่าแคนสเปกตรัมของแสง ในกรณีของแสงเลเซอร์ เช่น เลเซอร์ไฮเดรียม-นีโอน เมื่อให้แสงสีแดงของเลเซอร์ไฮเดรียม-นีโอนผ่านปริซึมจะไม่มีการแยกเป็นหลายสี แต่ยังคงมีเพียง 1 สีที่มีความยาวคลื่น 632.8 นาโนเมตร

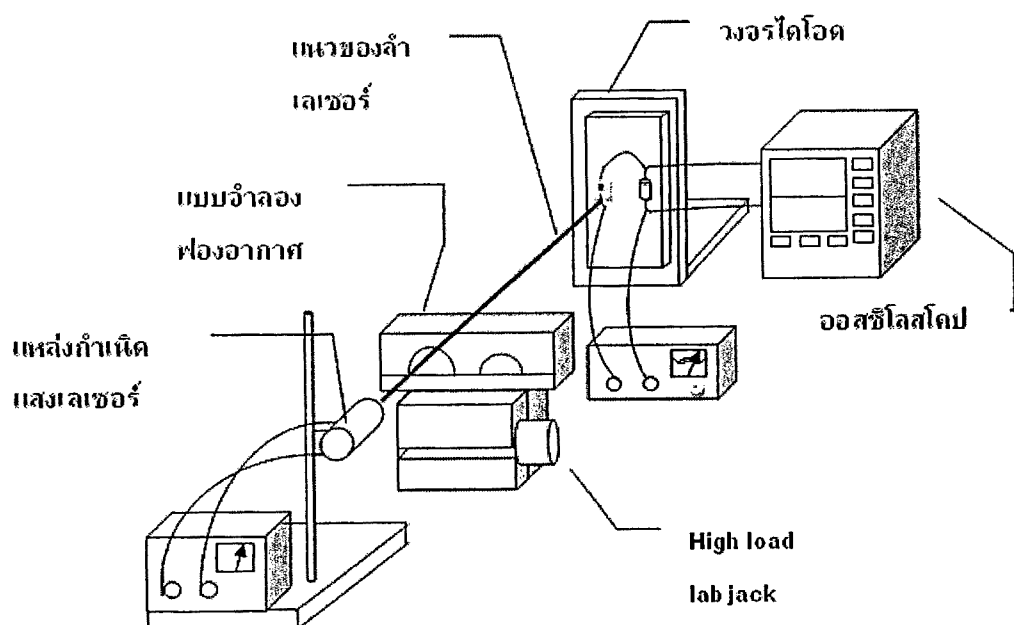
นอกจากนี้ เลเซอร์ยังมีลักษณะที่เหมือนกันทุก ๆ ลำเลเซอร์ ซึ่งสามารถอธิบายด้วยการเปรียบเทียบกับแสงจากหลอดไฟได้ดังนี้ แสงหลอดไฟฟ้าที่เปล่งแสงประกอบด้วยอะตอมที่เล็กจำนวนมาก โดยแต่ละอะตอมจะทำหน้าที่เป็นต้นกำเนิดแสง ตั้งนั้นแต่ละอะตอมก็ปล่อยแสงออกมาย่างอิสระซึ่งกันและกัน แสงที่ถูกปล่อยออกมายากหลอดไฟฟ้าจึงมีเฟสและความยาวคลื่นต่าง ๆ กัน ยิ่งกว่านั้นแต่ละคลื่นที่ถูกปล่อยออกมามีทิศทางไม่แน่นอน (random) ในทางตรงกันข้ามกับต้นกำเนิดของแสงเลเซอร์ที่จะให้แสงสีเดียว และทุก ๆ ลำแสงเลเซอร์จะมีเฟสเดียวกันหมด สมบัติที่เด่นชัดของแสงเลเซอร์อีกประการหนึ่งคือ ลำแสงของเลเซอร์ไม่กระจายออกเหมือนแสงจากไฟฉาย หรือต้นกำเนิดแสงอื่น ๆ แสงที่ออกจากเลเซอร์มีการบานออกค่อนข้างน้อย (divergence) โดยทุกรายทาง 1 เมตรที่ลำแสงเลเซอร์เคลื่อนที่ ส่วนผ่านศูนย์กลางของลำแสงจะโตขึ้นประมาณ 1 มิลลิเมตร

แสงเลเซอร์ยังมีลักษณะเด่นกว่าแหล่งกำเนิดแสงชนิดอื่นอีกประการคือมีความเข้มสูง และเมื่อลำแสงตกกระทบวัตถุจะเกิดความระยิบระยับของลำแสงขึ้น โดยเฉพาะเมื่อวัตถุนั้นมีความ

หยาน หรือแม้แต่ในบรรยายการคที่มีผู้ลงทะเบียนหรือค้นชื่อเป็นอนุภาคแขวนลอย เนื่องจากเลเซอร์ เกิดการสะท้อนแบบไม่มีทิศทางกับอนุภาคหรือความหมายนั้น และเกิดการแทรกสอดขึ้น

3.2 การหาความสัมพันธ์ด้วยการสอนเทียนกับแบบจำลองฟองอากาศ

การดำเนินงานจะเริ่มจากการสร้างระบบเลเซอร์ไดโอดและทดสอบวัดค่าสัญญาณรบกวนจากระบบที่ได้ออกแบบมา หลังจากนั้นจึงนำไปสอนเทียนโดยใช้แบบจำลองฟองอากาศทรงกลมที่ทำจากวัสดุที่มีค่าตัวคงที่นักเทคโนโลยีเดียวกับของเหลวที่จะใช้ในการทดลองจริง ซึ่งในการทดลองวัดการไนล์จริงจะต้องใช้ของเหลวที่มีความหนืดสูงกว่าน้ำเพื่อทำให้สามารถใช้กล้องวีดีโอแบบธรรมชาติถ่ายรูปได้ทัน โดยในการศึกษานี้ผู้วิจัยได้เลือกของเหลวดังกล่าวคือกรีซอร์น ซึ่งจากการศึกษาค่าของตัวคงที่นักเทคโนโลยีของวัสดุน้ำมันฯ ชนิดแล้วพบว่าวัสดุประเภทโพลีเมอร์ที่มีชื่อว่า Polymethylsiloxane (PDMS) มีค่าตัวคงที่นักเทคโนโลยีเดียวกับกรีซอร์นมาก ดังนั้นแบบจำลองฟองอากาศในการศึกษานี้จะทำจากวัสดุดังกล่าว สำหรับรูปที่ 3-3 แสดงส่วนประกอบหลักของชุดทดลองคือ ระบบเลเซอร์ไดโอด เครื่องมือเก็บสัญญาณ แบบจำลองฟองอากาศ และระบบเลื่อนตัวแห่งแบบจำลอง โดยวิธีการสร้างแบบจำลองพร้อมทั้งปัญหาอุปสรรคต่างๆ จะกล่าวถึงในส่วนต่อไป



รูปที่ 3-3 ส่วนประกอบของชุดทดลองสำหรับการสอนเทียนซึ่งประกอบด้วยระบบเลเซอร์ไดโอด เครื่องจ่ายแรงดันไฟฟ้าสำหรับวงจรไดโอด ออสซิโลสโคปสำหรับการบันทึกค่าเอาพุทธจากวงจรไดโอด แบบจำลองฟองอากาศ และระบบขับเคลื่อนแบบจำลอง

3.2.1 ระบบเลเซอร์ไดโอด

ในขั้นตอนแรก ผู้วิจัยจะทำการสร้างชุดอุปกรณ์การวัดขึ้นมาก่อนซึ่งประกอบด้วย แหล่งกำเนิดแสงเลเซอร์และวงจรไดโอด ซึ่งหลักการในการออกแบบเป็นดังนี้

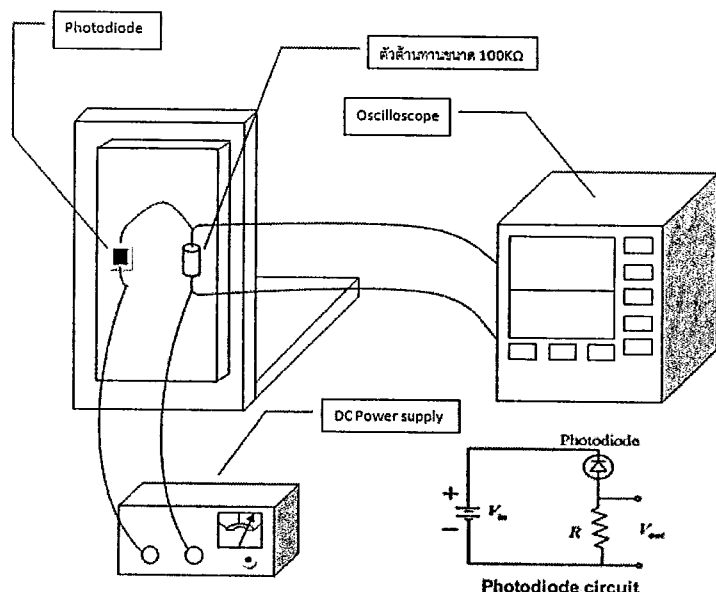
3.2.1.1 แหล่งกำเนิดแสงเลเซอร์

แหล่งกำเนิดแสงเลเซอร์ที่นำมาใช้ในการทดลองความมีกำลังสูงอยู่ในช่วง $1 \text{ mW} - 50 \text{ mW}$ เส้นผ่านศูนย์กลางของขนาดลำแสงประมาณ $0.6-1.0 \text{ mm}$ และมีแสงเป็นสีแดง มีความยาวคลื่นประมาณ 650 nm สามารถเปิดทึบไว้เป็นเวลานาน ๆ ได้ โดยกำลังไม่ตกร้อน

ในช่วงต้นของการทดลอง ผู้วิจัยได้นำเลเซอร์พอยเตอร์มาดัดแปลงต่อเข้ากับวงจร DC power supply เพื่อใช้ทดสอบวงจรไดโอดและสอบถามค่าความถี่ของแหล่งกำเนิดแสง แหล่งกำเนิดแสงในส่วนต่าง ๆ เช่นแล้ว การทดลองในส่วนถัดมาจะใช้เลเซอร์ He-Ne ขนาด 10 mW ซึ่งมีขนาดเส้นผ่านศูนย์กลาง 0.65 mm และความยาวคลื่นของแสงสีแดงประมาณ 630 nm เพื่อใช้ในการวัดจริง โดยสาเหตุที่ต้องการความเข้มแสงสูงเพื่อทำให้มี signal to noise ratio ในการวัดสูง

3.2.1.2 วงจรไดโอด

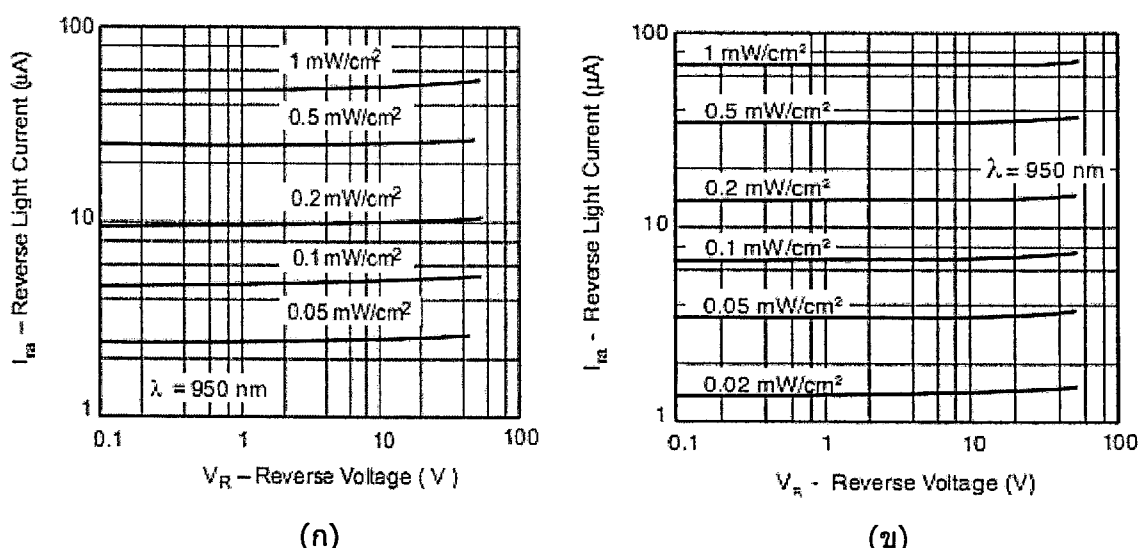
วงจรไดโอด คือ วงจรที่ใช้ในการรับลำแสงเลเซอร์หลังจากที่ลำแสงผ่านแบบจำลองฟองอากาศมาแล้ว เพื่อนำสัญญาณความต่างศักย์ที่เกิดขึ้นบนวงจรไปวิเคราะห์ต่อไป วงจรไดโอดมีส่วนประกอบที่สำคัญอยู่ 3 ส่วน คือ โฟโตไดโอด เครื่อง DC regulator และตัวต้านทานแสดงตามรูปที่ 3-4 โดยมีรายละเอียดดังต่อไปนี้



รูปที่ 3-4 วงจรโฟโตไดโอดที่ประกอบด้วยแหล่งจ่ายความดันไฟฟ้า โฟโตไดโอด ตัวต้านทาน และออสซิลโลสโคป

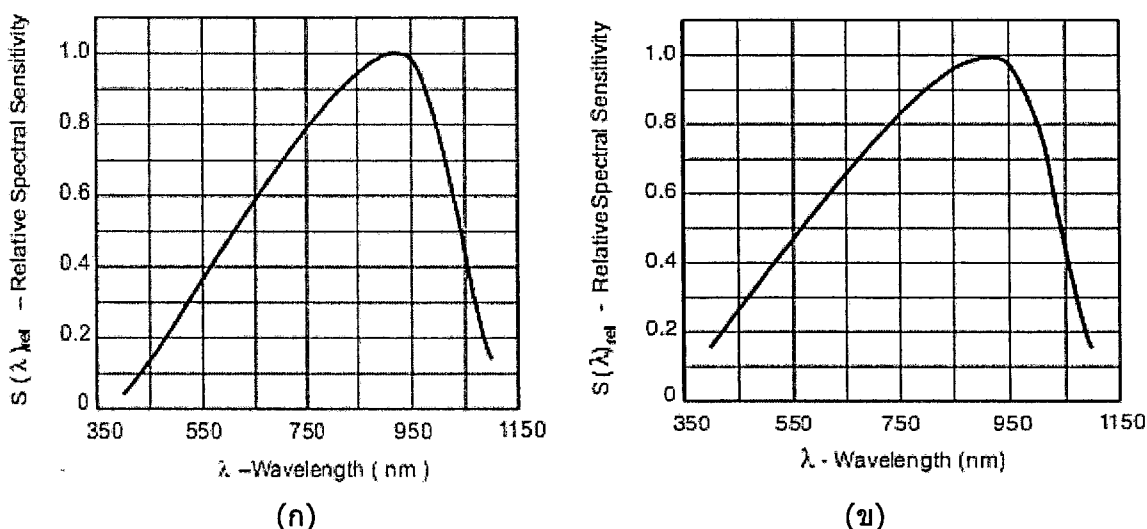
- โฟโต้ไดโอด

ในส่วนของโฟโต้ไดโอด ผู้วิจัยได้พิจารณาเปรียบเทียบโฟโต้ไดโอดยี่ห้อ Vishay รุ่น BPW34 (แบบสีเหลี่ยมจัตุรัส) และ ยี่ห้อ Vishay รุ่น BPV10 (แบบทรงกระบอก) เป็นหลักในการนำมาใช้ในการทดลอง เนื่องด้วยประสิทธิภาพของตัวไดโอดและเหตุผลที่เกี่ยวข้องกับความสะดวกในการสั่งซื้อ โดยขั้นแรกผู้วิจัยจะพิจารณาความสามารถในการเปลี่ยนพลังงานแสงที่ตกลงบนไฟฟ้าที่ให้ไว้ในวงจรของห้องสองแบบ โดยจะพิจารณา ณ ความยาวคลื่นที่ 950 nm (ไม่มีข้อมูลที่ความยาวคลื่นแสงอื่น) ซึ่งห้องสองแบบจะมีค่า relative sensitivity ใกล้เคียงกันและสามารถป้อนความต่างศักย์ในการใบแอลอสเซ็นเท่ากับ 1 - 15 V ได้ และจากรูปที่ 3-5 ก และ ข พนว่า หากค่า Irradiance (E_a) หรือปริมาณของพลังงานแสงที่ตกลงต่อหน่วยพื้นที่มีค่าเท่ากันแล้ว ค่ากระแสไฟฟ้าของโฟโต้ไดโอดรุ่น BPV10 จะมีค่าสูงกว่ารุ่น BPW34 เพียงเล็กน้อย



รูปที่ 3-5 ความสัมพันธ์ระหว่าง Reverse light current กับ Reverse voltage ที่อัตราส่วนระหว่างพลังงานแสงที่ตกลงบนไฟฟ้าที่มีค่าต่าง ๆ กัน ของโฟโต้ไดโอด (ก) รุ่น BPW34, (ข) รุ่น BPV10 (ข้อมูลจากเอกสารของบริษัท Vishay)

เมื่อพิจารณาความสัมพันธ์ระหว่าง relative sensitivity กับ wavelength ของไดโอดทั้งสองรุ่น ตามรูปที่ 3-6 ก และ ข พนว่า ที่ความยาวคลื่นเท่ากับ 650 nm ซึ่งเป็นความยาวคลื่นของแสงเลเซอร์ที่ใช้ในการทดลอง รุ่น BPV10 มีค่า relative sensitivity ประมาณ 0.65 และ รุ่น BPW34 มีค่า relative sensitivity ประมาณ 0.6 ซึ่งแตกต่างกันเพียง 5% เท่านั้น ดังนั้นสรุปได้ว่า ในแง่ของประสิทธิภาพโฟโต้ไดโอดทั้งสองรุ่นมีความใกล้เคียงกัน

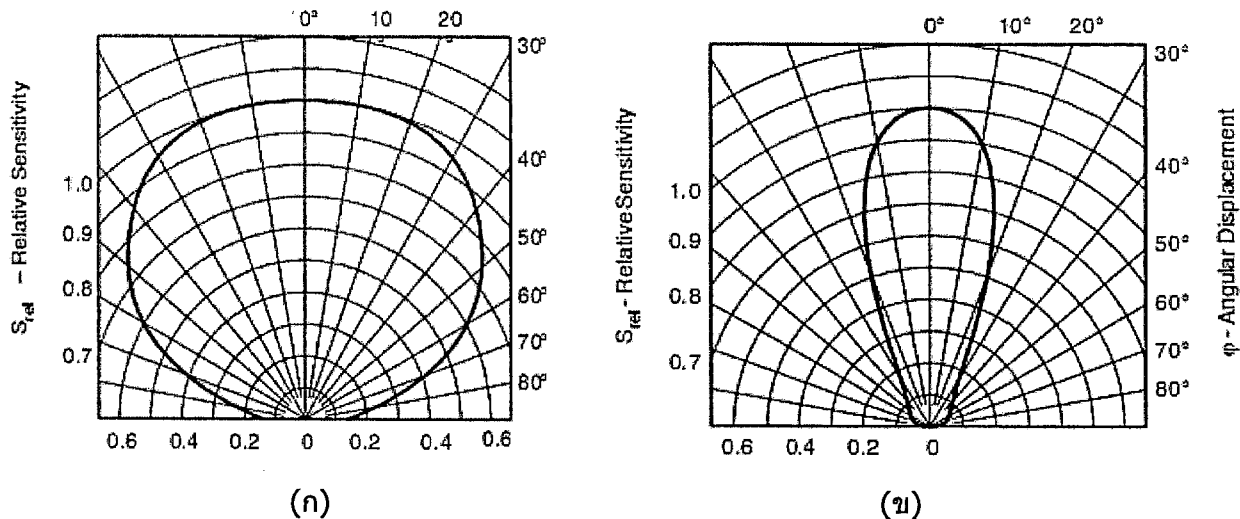


รูปที่ 3-6 ความสัมพันธ์ระหว่าง Relative sensitivity กับความยาวคลื่นแสงที่ตัดกรองของ (ก) โฟโต้ไดโอด รุ่น BPW34, (ข) โฟโต้ไดโอด รุ่น BPV10 (ข้อมูลจากเอกสารของบริษัท Vishay)

ขั้นต่อมาจะมาพิจารณาลักษณะทางกายภาพของโฟโต้ไดโอดทั้งสองรุ่นสำหรับรุ่น BPV10 จะมีลักษณะตามรูปที่ 3-1ก คือจะมีกระเบ้าพลาสติกสีดำครอบบริเวณ sensitive area ของไดโอดด้านบนมีลักษณะโค้งมนิ่วอยู่ในการรวมแสงให้ตกลงบน sensitive area โดย sensitive area ของรุ่นดังกล่าวมีขนาด 0.78 mm^2 และรูปร่างของโฟโต้ไดโอดรุ่น BPW34 แสดงดังรูปที่ 3-1ข ซึ่งจะมีบริเวณ sensitive area ขนาดใหญ่กว่าโฟโต้ไดโอดทั่วไป คือมีขนาดถึง 7.5 mm^2 ทำให้การติดตั้งแหล่งกำเนิดแสงเลเซอร์เพื่อให้ล้ำแสงร่วงไปกระทบที่บริเวณ sensitive area ขณะทำการทดลองทำได้ง่ายและสะดวก โดยสามารถสังเกตได้จากสายตาได้เลยว่าล้ำแสงเลเซอร์ตกกระทบบนโฟโต้ไดโอดทั้งหมดหรือไม่

เมื่อเปรียบเทียบคุณสมบัติทางกายภาพของโฟโต้ไดโอดทั้งสองรุ่นที่เกี่ยวข้องกับความความสัมพันธ์ระหว่าง relative sensitivity กับ มุมที่ล้ำแสงตกกระทบตามรูปที่ 3-7 ก และพบว่าโฟโต้ไดโอดรุ่น BPW34 จะมีข้อดีในเรื่องของการติดตั้งเพื่อใช้ในการทดลองมากกว่ารุ่น BPV10 เพราะแม้กระทั้งมุมที่ล้ำแสงเลเซอร์ตกกระทบโฟโต้ไดโอดมีการเบี่ยงเบนไปจากเส้นตั้งฉากมีค่าเพิ่มขึ้นมาก ค่า relative sensitivity ของรุ่น BPW34 จะแนวโน้มลดลงค่อนข้างช้า เช่น มุมมีค่าสูงถึงถึง 20° ค่า relative sensitivity ของโฟโต้ไดโอดก็ยังคงมีเป็น 1 เท่าเดิม เป็นต้น ซึ่งถือว่าเป็นช่วงมุมทำงานที่กว้างมาก ในทางตรงกันข้าม ถ้าพิจารณาโฟโต้ไดโอดรุ่น BPV10 จะพบว่าหากมุมมีการเบี่ยงเบนไปจากเส้นตั้งฉากเพียง 10° จะทำให้ค่า relative sensitivity ลดลงถึง 10% แต่ถ้ามุมมีค่า 20° จะทำให้ค่า relative sensitivity ลดลงไปถึง 45 %

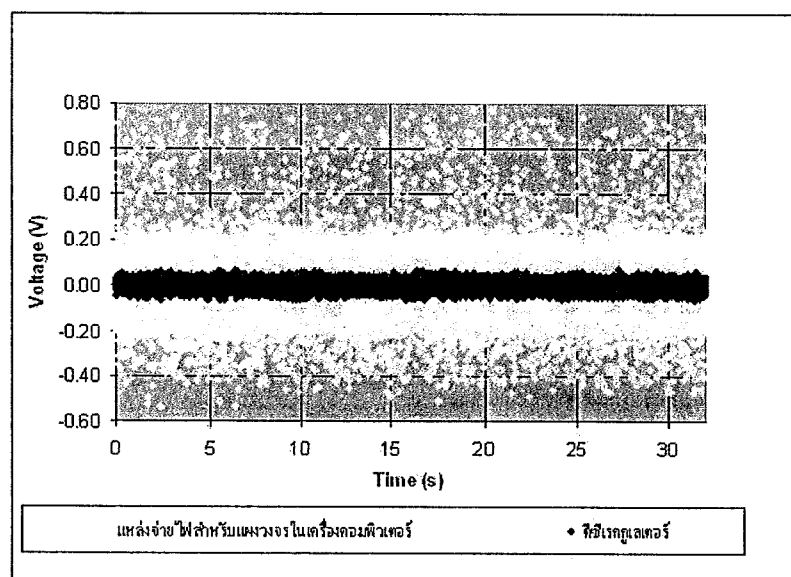
อย่างไรก็ตามในการทดลองนี้ ผู้วิจัยต้องการให้ชุดทดลองมีการตอบสนองต่อมุมของเลเซอร์ที่มาตรฐานของโฟโต้ไดโอดที่ค่อนข้างสูง เพื่อที่จะสามารถแยกความแตกต่างของ input ได้ง่าย ดังนั้นผู้วิจัยจะเลือกใช้โฟโต้ไดโอดรุ่น BPV10 เพราะมี sensitivity กับทิศทางเลเซอร์สูงกว่า และมีคุณสมบัติอื่น ๆ ระหว่างโฟโต้ไดโอดทั้งสองแตกต่างกันไม่มากนัก



รูปที่ 3-7 ความสัมพันธ์ระหว่าง Relative sensitivity กับมุมที่แสงตกกระทบของโฟโต้ไดโอด (ก) โฟโต้ไดโอดรุ่น BPW34, (ข) โฟโต้ไดโอดรุ่น BPV10 (ข้อมูลจากเอกสารของบริษัท Vishay)

- DC regulator

ในส่วนของแหล่งจ่ายไฟฟ้าสำหรับการใบแอลอสย้อนโฟโต้ไดโอดนั้นควรจะต้องเป็นแหล่งจ่ายไฟฟ้าที่ทำให้เกิดสัญญาณรบกวนในวงจรน้อยที่สุด โดยทางนักวิจัยได้เลือกแหล่งจ่ายไฟฟ้า 2 แบบคือ DC regulator และแหล่งจ่ายไฟฟ้าสำหรับแพงวงจรในเครื่องคอมพิวเตอร์มาทำการทดลองใช้จ่ายไฟฟ้าสำหรับการใบแอลอสย้อนโฟโต้ไดโอดในวงจรด้วยความต่างศักย์ 5 โวลต์ ใช้ตัวต้านทานในวงจร 100 กิโลโอห์ม และวัดสัญญาณขากอกของวงจรในสภาวะที่มีดสนิท ด้วยอัตราการเก็บสัญญาณ 1,000 ครั้งต่อวินาที เป็นเวลา 32 วินาที ซึ่งสัญญาณความต่างศักย์ขากอกของวงจรจะเป็นดังรูปที่ 3-8



รูปที่ 3-8 สัญญาณรบกวนที่ได้จากการวัดสัญญาณขากอกของวงจรในสภาวะการทดลอง มีดสนิท โดยเปรียบเทียบระหว่าง DC regulator และแหล่งจ่ายไฟฟ้าสำหรับแพงวงจรในเครื่องคอมพิวเตอร์ เป็นแหล่งจ่ายไฟฟ้าสำหรับการใบแอลอสย้อนโฟโต้ไดโอดในวงจร

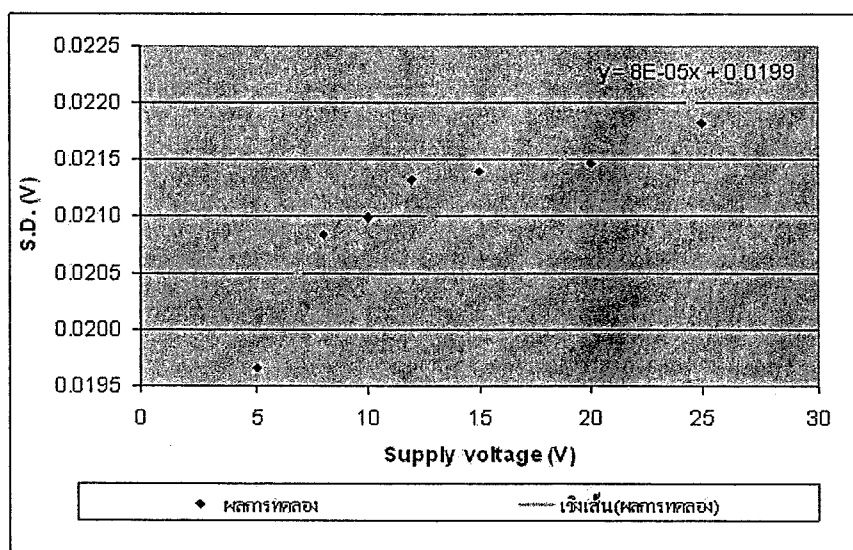
จากนั้นจึงนำสัญญาณมาทำการหาค่าเบี่ยงเบนมาตรฐาน ซึ่งได้เลือกใช้เกณฑ์ในการเลือกแหล่งจ่ายไฟฟ้าสำหรับการใบแอดส์ยอน โฟโต้ไดโอด ในวงจรด้วยค่าเบี่ยงเบนมาตรฐานของสัญญาณข้าอกของวงจรในขณะที่มีดสนิท ดังนั้นจึงได้เลือกใช้ DC Regulator ซึ่งให้ค่าเบี่ยงเบนมาตรฐานของสัญญาณข้าอกของวงจรในขณะที่มีดสนิทที่น้อยกว่าตามข้อมูลในตารางที่ 3-1

ตารางที่ 3-1 ค่าเบี่ยงเบนมาตรฐานของสัญญาณรบกวนของแหล่งกำเนิดสัญญาณต่างๆ

	DC regulator	แหล่งจ่ายไฟของเครื่องคอมพิวเตอร์
ค่าเบี่ยงเบนมาตรฐาน (โวลต์)	0.020	0.146

หลังจากที่เลือกแหล่งจ่ายไฟฟ้าสำหรับการใบแอดส์ยอนโฟโต้ไดโอดในวงจรได้แล้ว ลำดับต่อไปจะต้องเลือกใช้ความต่างศักย์สำหรับใบแอดส์ยอนโฟโต้ไดโอด การเลือกความต่างศักย์สำหรับใบแอดส์ยอนโฟโต้ไดโอดนั้นจะต้องสูงพอที่จะทำให้โฟโต้ไดโอดอยู่ในภาวะที่กระแสไฟฟ้าแปรผันตรงกับความเข้มแสงได้ และจะต้องไม่เกินค่าความต่างศักย์สูงสุดที่โฟโต้ไดโอดรับได้ซึ่งเท่ากับ 60 โวลต์ และความต่างศักย์นั้นควรจะทำให้เกิดสัญญาณรบกวนในวงจรน้อยที่สุด ทางนักวิจัยจึงได้ทำการทดลองเพื่อหาว่าที่ความต่างศักย์ในการใบแอดส์ยอนต่าง ๆ กัน จะมีผลกระทบต่อสัญญาณรบกวนในวงจรที่เกิดขึ้นต่างกันหรือไม่

การทดลองนี้ทำโดยการจ่ายไฟฟ้าสำหรับการใบแอดส์ยอนโฟโต้ไดโอดในวงจรด้วยความต่างศักย์ 5, 8, 10, 12, 15, 20 และ 25 โวลต์ ใช้ตัวต้านทานในวงจร 100 กิโลโวห์ม แล้ววัดสัญญาณข้าอกของวงจรในสภาวะที่มีดสนิท ด้วยอัตราการเก็บสัญญาณ 1,000 ครั้งต่อวินาที เป็นเวลา 32 วินาที และนำสัญญาณที่ได้มาทำการหาค่าเบี่ยงเบนมาตรฐาน จะพบว่าค่าเบี่ยงเบนมาตรฐานของสัญญาณที่ได้ในแต่ละค่าความต่างศักย์ที่ใช้ในการใบแอดส์ยอนโฟโต้ไดโอดนั้นมีค่าใกล้เคียงกันแต่มีแนวโน้มที่ค่าเบี่ยงเบนมาตรฐานของสัญญาณที่ได้จะสูงขึ้นเมื่อใช้ความต่างศักย์ในการใบแอดส์ยอนโฟโต้ไดโอดสูงขึ้น ดังจะเห็นได้จากรูปที่ 3-9



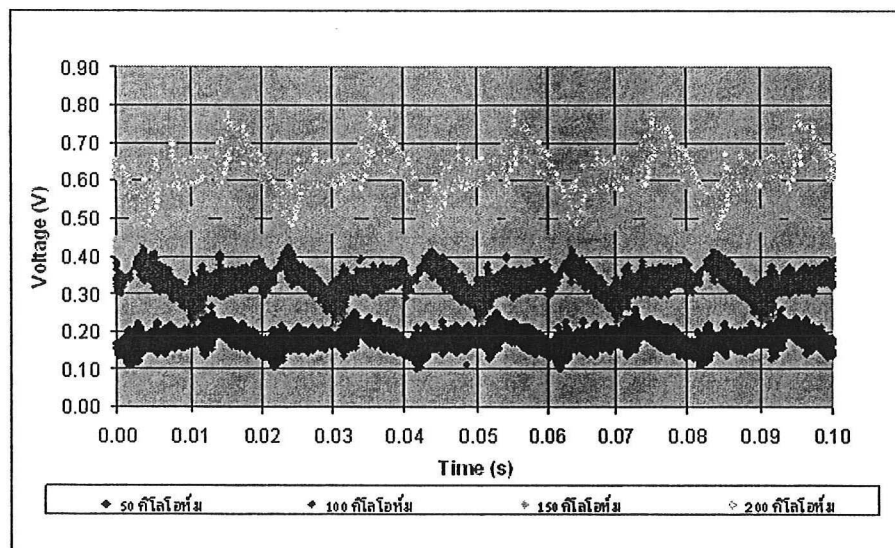
รูปที่ 3-9 ความสัมพันธ์ของค่าเบี่ยงเบนมาตรฐานของสัญญาณที่ได้จากการทดลองมีดสนิท เมื่อเพิ่มค่า Bias voltage

จากการจะพบว่าความต่างศักย์ในการไฟแสงย้อนฟอโต้ไดโอด 5 โวลต์มีสัญญาณรบกวนน้อยที่สุดและมีแนวโน้มที่สัญญาณรบกวนจะมากขึ้นที่ความต่างศักย์ในการไฟแสงย้อนฟอโต้ไดโอดสูงขึ้น ดังนั้นในงานวิจัยนี้จึงได้เลือกความต่างศักย์ในการไฟแสงย้อนฟอโต้ไดโอดเป็น 10-12 โวลต์ เพื่อเพื่อให้สัญญาณความต่างศักย์ข้าอกลみค่าสูง

- ตัวต้านทานในวงจรไดโอด

หลังจากที่ได้ทำการเลือกชนิดและความต่างศักย์ของแหล่งจ่ายไฟที่ใช้ทำการไฟแสงย้อนแล้ว ส่วนประกอบในวงจรที่จะทำการเลือกต่อไปก็คือตัวต้านทาน สำหรับตัวต้านทานนั้นยังใช้ความต้านทานที่มีค่าสูงมากขึ้น สัญญาณความต่างศักย์ข้าอกลみของวงจนันก็จะยิ่งมีค่าสูงขึ้นซึ่งจะทำให้ง่ายต่อการสังเกตและวิเคราะห์ แต่ในขณะเดียวกันความต้านทานที่มากขึ้นนั้น ก็อาจจะไปขยายสัญญาณรบกวนในวงจรให้มีค่าเพิ่มขึ้นด้วย ทางนักวิจัยจึงได้ทำการทดลองเพื่อหาว่าค่าความต้านทานที่ใช้ในวงจร เมื่อมีค่าเปลี่ยนแปลงไปจะมีผลต่อสัญญาณรบกวนในวงจรหรือไม่ อย่างไร การทดลองนี้ทำโดยการจ่ายไฟฟ้าสำหรับการไฟแสงย้อนฟอโต้ไดโอดในวงจรด้วยความต่างศักย์ 5 โวลต์ ใช้ตัวต้านทานในวงจร 50, 100, 150 และ 200 กิโลโอนัม และยิงเลเซอร์ (เลเซอร์พอยเตอร์) ตรงผ่านอากาศไปที่กล้องฟอโต้ไดโอด และวัดสัญญาณข้าอกลみของวงจร ด้วยอัตราการเก็บสัญญาณ 100,000 ครั้งต่อวินาที เป็นเวลา 0.1 วินาที ซึ่งสัญญาณความต่างศักย์ข้าอกลみของวงจรจะเป็นลักษณะคล้ายรูป Sine wave ที่ความถี่ประมาณ 50 Hz และมีการแกว่งขึ้นลงเล็กน้อยด้วยความถี่สูงพร้อมๆกันไปดังรูปที่ 3-10

หลังจากนั้น จะนำสัญญาณในรูปที่ 3-10 มาทำการหาค่าเบี่ยงเบนมาตรฐาน ค่าเฉลี่ย และอัตราส่วนระหว่างค่าเฉลี่ยต่อค่าเบี่ยงเบนมาตรฐาน โดยอัตราส่วนระหว่างค่าเฉลี่ยต่อค่าเบี่ยงเบนมาตรฐานนี้จะเป็นค่าบ่งชี้ว่าสัญญาณนั้นมีความชัดเจนมากหรือน้อย



รูปที่ 3-10 สัญญาณความต่างศักย์ข้าอกลみของวงจรกับเวลาเมื่อยิงเลเซอร์ผ่านอากาศสู่ฟอโต้ไดโอด ที่ค่าความต้านทานของวงจรต่างๆ

เมื่อพิจารณาค่าอัตราส่วนระหว่างค่าเฉลี่ยต่อค่าเบี่ยงเบนมาตรฐานในตารางที่ 3-2 พบว่า เมื่อใช้ความด้านหาน 150 และ 200 กิโลโหร์ม สัญญาณจะมีความชัดเจนสูง แต่เนื่องจาก สัญญาณมีค่าเบี่ยงเบนมาตรฐานสูงด้วย จะทำให้ยากต่อการสังเกตความต่างศักย์ข้าอกบัน หน้าจอของเครื่องมือวัดในระหว่างการทดลองต่อ ๆ ไป ดังนั้นจึงเลือกใช้ความด้านหาน 100 กิโลโหร์ม ซึ่งมีค่าอัตราส่วนระหว่างค่าเฉลี่ยต่อค่าเบี่ยงเบนมาตรฐานสูงกว่าเมื่อใช้ความด้านหานที่ 50 กิโลโหร์ม และมีค่าเบี่ยงเบนมาตรฐานไม่สูงจนเกินไป

ตารางที่ 3-2 ค่าเฉลี่ย ค่าเบี่ยงเบนมาตรฐาน และค่าอัตราส่วนระหว่างค่าเฉลี่ยต่อค่าเบี่ยงเบน มาตรฐานสำหรับการใช้ตัวด้านหานขนาดต่างๆ

พารามิเตอร์	50 kΩ	100 kΩ	150 kΩ	200 kΩ
ค่าเฉลี่ย (โวลต์)	0.021	0.034	0.041	0.052
ค่าเบี่ยงเบนมาตรฐาน (โวลต์)	0.181	0.341	0.493	0.629
อัตราส่วนค่าเฉลี่ยต่อค่าเบี่ยงเบน มาตรฐาน	8.597	10.034	12.103	11.937

- ออสซิโลสโคป

อุปกรณ์ที่ใช้ในการเก็บค่าสัญญาณความต่างศักย์ที่ใช้ในการทดลองนี้คือ ออสซิโลสโคป ยี่ห้อ YOKOGAWA รุ่น DL716 อุปกรณ์นี้สามารถทำการวัดค่าแล้วแสดงผลบนจอแสดงผลได้ และ ยังสามารถเก็บข้อมูลที่ทำการวัดเป็นไฟล์โปรแกรม Microsoft Excel ในรูปแบบของสุดภาร์ซึ่งทำ ให้สะดวกต่อการนำข้อมูลไปวิเคราะห์ต่อไป โดยทุกการทดลองจะทำการวัดในโหมด DC ซึ่งจะ เป็นการวัดรวมทั้งสัญญาณไฟฟ้ากระแสตรงและไฟฟ้ากระแสสลับ อุปกรณ์นี้มี resolution ละเอียด ถึง 0.00001 โวลต์ และสามารถเก็บข้อมูลได้ถึงตั้งแต่ 1 ครั้งต่อวินาทีถึง 10 ล้านครั้งต่อวินาที และ สามารถเก็บจำนวนตัวอย่างต่อหนึ่งครั้งการทดลองได้มากถึง 1 ตัวอย่างถึง 1 ล้านตัวอย่าง จะเห็น ได้ว่าเป็นอุปกรณ์ที่มีขีดความสามารถในการเก็บข้อมูลที่สูง แต่ขีดจำกัดของการใช้เครื่องมือน้อยที่ การถ่ายเทข้อมูลเข้าสู่เครื่องคอมพิวเตอร์จะต้องใช้แผ่น diskette ซึ่งมีหน่วยความจำที่น้อยทำให้ ไม่สามารถเก็บจำนวนตัวอย่างมาก ๆ ได้

3.2.2 อุปกรณ์สำหรับการสอนเที่ยบเครื่องมือวัด

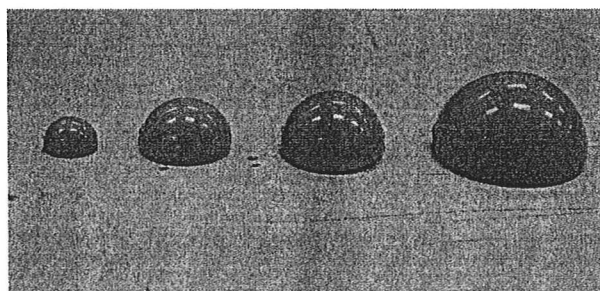
หลังจากได้ออกแบบและประกอบระบบเลเซอร์ได้โดยแล้ว จึงทำการสอนเที่ยบเครื่องมือวัด ที่พัฒนาขึ้นโดยใช้แบบจำลองฟองอากาศ ซึ่งรายละเอียดต่าง ๆ มีดังต่อไปนี้

3.2.2.1 แบบจำลองฟองอากาศ

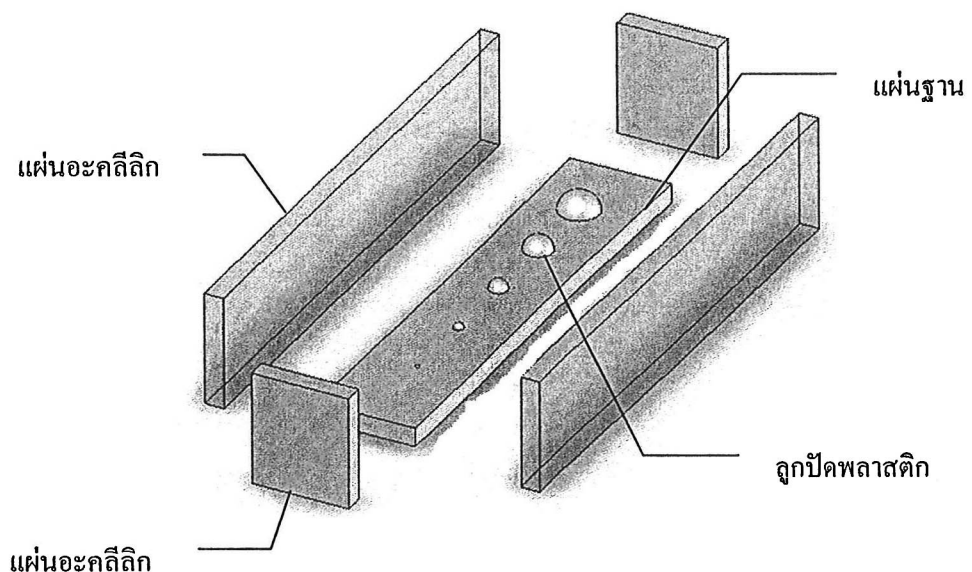
สำหรับสุดที่ใช้ทำแบบจำลองนี้คือ Polydimethylsiloxane (PDMS) เนื่องจาก PDMS หรือมีชื่อเรียกสินค้าว่า Sylgard 184 นั้นเป็น โพลิเมอร์ที่มีค่าดัชนีหักเหใกล้เคียงกับกลีเซอริน คือ มีค่าประมาณ 1.430 ในขณะที่กลีเซอรินนั้นมีค่าดัชนีหักเหอยู่ที่ 1.47 (กลีเซอริน 100%

วัดที่อุณหภูมิ 20°C) นอกจากนั้น วัสดุชนิดนี้เป็นที่รู้จักแพร่หลายมากในปัจจุบันเนื่องจากมีการนำมาใช้งานในการสร้าง "Lab on chip" เพื่อศึกษาการไหลในท่อขนาดเล็กเหล่านี้

แม่พิมพ์ของแบบจำลองฟองอากาศทำจากลูกปัดครึ่งทรงกลมขนาดเส้นผ่าศูนย์กลาง 5 ขนาด คือ 6, 8, 13, 16, และ 22 ม.ม. โดยรูป 3-11 แสดงลักษณะของลูกปัดขนาดต่าง ๆ ที่นำมาขัดจนถึงกึ่งกลางของลูกปัด โดยมีขั้นตอนการสร้างแบบจำลองดังต่อไปนี้ เริ่มต้นการสร้างฐานแบบจำลองจากแผ่นอลูมิเนียมขัดผิวให้เรียบ แล้วนำลูกปัดตามขนาดที่ต้องการมาผ่าและขัดให้เป็นรูปครึ่งทรงกลม ทำการแบ่งบนฐานอลูมิเนียมที่เตรียมไว้ จากนั้นใช้แผ่นอะคริลิกหนา 4 ม.ม. มาประกอบเป็นฝาทั้ง 4 ด้าน โดยยึดแผ่นอะคริลิกเข้ากับฐานด้วยสกรูแล้วอุดรอยรั่วที่มุมทั้ง 4 ด้านด้วยซิลิโคน จากนั้นทดลองใส่น้ำลงไปเพื่อทดสอบการรั่วซึ่ง รูปที่ 3-12 แสดงลักษณะการประกอบแม่พิมพ์เข้าด้วยกัน



รูปที่ 3-11 ลูกปัดผ่าครึ่งและขัดเรียบ ขนาดรัศมีต่าง ๆ



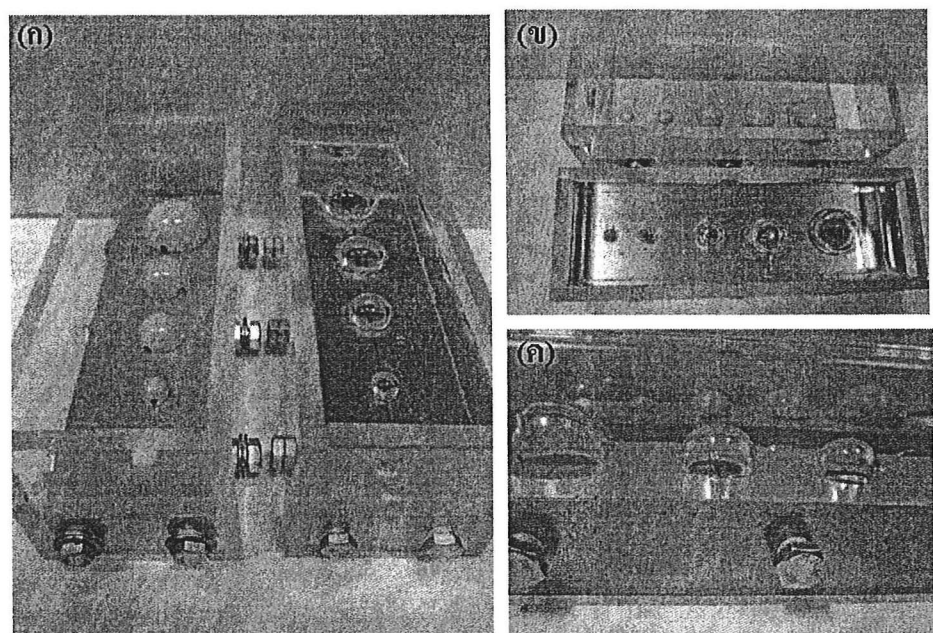
รูปที่ 3-12 แผนภาพของแม่พิมพ์ที่ใช้ทำแบบจำลองฟองอากาศ โดยลูกปัดถูกยึดกับฐานด้วยการ แผ่นอะคริลิก และผนังแต่ละด้านถูกยึดกับฐานด้วยสกรู และใช้ซิลิโคนในการอุดรอยรั่ว ระหว่างผนังแต่ละด้าน

หลังจากนั้น จึงทำการผสม PDMS ด้วยอัตราส่วนระหว่างมูลของ monomer และ catalyst เท่ากัน 10:1 คนในเข้ากันที่อุณหภูมิห้อง ซึ่งจะทำให้มีฟองอากาศขนาดใหญ่จำนวนมาก แทรกเข้าไปในเนื้อรัศต์ ดังนั้นจึงต้องนำไปใส่ใน vacuum chamber เพื่อดูดเอาอากาศที่แทรกออกจนหมดก่อน เมื่อตึงอากาศออกแล้วจึงนำ PDMS ไปเทใส่แม่พิมพ์และอบภายใต้อุณหภูมิ 60 °C เป็นเวลา 4 ชั่วโมง ฟองอากาศขนาดเล็ก (เล็กมากจนเกือบมองไม่เห็น) จะค่อย ๆ ลอยออกมายจาก PDMS เอง (ค่า reflective index และความโปร่งใสของ PDMS จะเปลี่ยนแปลงเพียงเล็กน้อยไปกับอุณหภูมิที่ใช้ในการอบ) หลังจากนั้น จึงทำการถอดแบบ PDMS ออกจากแม่พิมพ์และนำลูกปัดออกจากฐาน จากนั้นจึงประกอบก้อน PDMS กลับเข้ากันแม่พิมพ์อีกครั้งเพื่อนำมาใช้ในการทดลอง

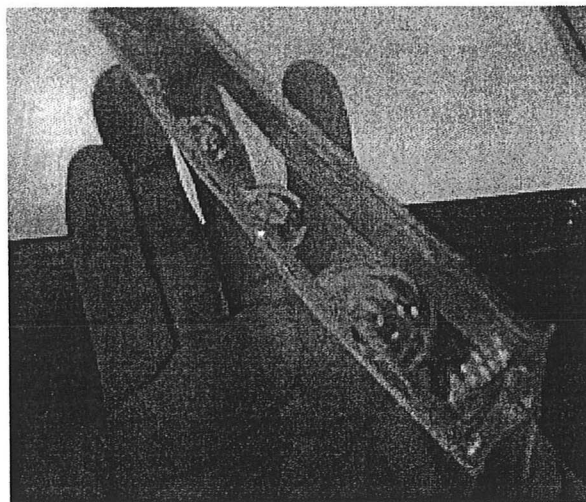
สำหรับการทำแม่พิมพ์นี้ ในครั้งแรกได้ลองใช้ฐานแม่พิมพ์ที่ทำจากไม้ ผู้วิจัยพบว่าเป็นรัศต์ที่ไม่เหมาะสมอย่างยิ่ง เนื่องจากมีรูพรุนทำให้เก็บอากาศไว้ในเนื้อไม้ได้มาก เวลานานไปอ่อนในเตาอบจะทำให้อาหารที่แทรกซึมอยู่ออกมาย และทำให้เกิดฟองอากาศจำนวนมากในเนื้อ PDMS นอกจานน้ำเวลาลอกออกจากฐานก็ยังทำได้ไม่สะดวก เพราะผิวไม้ค่อนข้างหยาบ ทำให้ต้องใช้แรงค่อนข้างมากและใช้ใบมีดตัดซึ่งจะทำผิวงานเสียหายได้

นอกจากนั้นแล้ว ความสะอาดของแม่พิมพ์ก็เป็นสิ่งสำคัญ เวลาจับขึ้นงานควรสวมถุงมือเพื่อป้องกันไม่ให้รอยนิ้วมือปรากฏบนผนังแม่พิมพ์ซึ่งอาจจะทำให้ผลการทดลองผิดพลาดได้ ใน การทดลองเบื้องต้นมีรายงานการนำไปเลอะบนผนังบริเวณใกล้กับฟองอากาศ ก็ทำให้เกิดการหักเหของเลเซอร์บริเวณครามสกปรกดังกล่าวอย่างชัดเจน

รูปที่ 3-13 แสดงแม่พิมพ์ก้อนและหลังการหล่อ PDMS (เป็นชุดทดลองที่พร้อมสำหรับการทดลอง) โดยแบบจำลองฟองอากาศนี้สามารถถอดประกอบออกจากแม่พิมพ์ได้ เนื่องจาก PDMS มีโครงสร้างที่แข็งแรงสามารถใช้มือจับได้ ดังแสดงในรูปที่ 3-14



รูปที่ 3-13 แม่พิมพ์ก้อนและหลังใช้งาน (ก) นุ่มนวลด้านข้าง - ด้านข้างดีดอแม่พิมพ์ก้อนใช้งาน, (ข) นุ่มนวลด้านบน, (ค) ภาชนะจะลักษณะของฟองอากาศขนาดต่าง ๆ ใน PDMS



รูปที่ 3-14 ก้อน PDMS ที่มีฟองอากาศอยู่ด้านใน

3.2.2.2 ระบบการเลื่อนต่าแห่งแบบจำลองของฟองอากาศ

งานวิจัยนี้มีความประสงค์ที่จะวัดสัญญาณข้าออกของวงจรเมื่อยิงผ่านแบบจำลองของฟองที่มีรัศมีความโค้งต่าง ๆ ที่กำลังเคลื่อนที่ ดังนั้นระบบการเลื่อนต่าแห่งแบบจำลองเพื่อวัดสัญญาณข้าออกของวงจรที่ต่าแห่งความสูงตั้งแต่ปลายยอดฟองและต่ำลงไปยังต่าแห่งด้านในฟองจึงมีความสำคัญ

เครื่องมือที่ใช้ในการเลื่อนต่าแห่งแบบจำลองของฟองคือ โต๊ะทดลองที่สามารถปรับระดับได้ (lab jack) ยี่ห้อ Newport รุ่น 271 มีช่วงพิสัยความสูงตั้งแต่ 2.5 นิ้ว ถึง 4.25 นิ้ว ซึ่งการทำงานของเครื่องนี้จะใช้วิธีหมุนลูกบิดให้เกิดการเคลื่อนที่ในแนวตั้งซึ่งแผ่นวางงานข้างบนจะถูกยกสูงขึ้นไป และเพื่อให้ง่ายต่อการปรับระยะความสูงของแผ่นวางงานจึงได้เลือกช่วงที่มีความสัมพันธ์ระหว่างความสูงของแผ่นวางงานกับจำนวนรอบการหมุนลูกบิดเป็นเชิงเส้นซึ่งก็คือในช่วง 2.5 ถึง 3.5 นิ้ว

สำหรับ resolution ของเครื่องมือนี้จะมีค่าคงที่ในช่วงความสูง 2.5 ถึง 3.5 นิ้วต้องหมุนลูกบิดไป 10 รอบดังนั้น 1 รอบจะทำให้เกิดระยะการเคลื่อนที่ 0.1 นิ้ว หรือเท่ากับ 2.54 มิลลิเมตร และเนื่องจากใช้การสังเกตการหมุนด้วยแยกของลูกบิดซึ่งมี 8 แจก และระหว่างแจกต่อแจกสามารถมองเห็นและแบ่งออกเป็น 4 ส่วน ได้ด้วยสายตา ดังนั้นจะทำให้เครื่องมือนี้มี resolution ในพิสัยที่ทำการทดลองเท่ากับ 0.08 มิลลิเมตร

สำหรับลักษณะของการทดลองโดยสังเขปจะเป็นดังนี้ อุปกรณ์วัดจะติดตั้งโดยปรับให้ล้ำเลเซอร์จากแหล่งกำเนิดไปกระทบตั้งฉากกับโพโต้ไดโอดในวงจร และทำการเคลื่อนแบบจำลองฟองอากาศผ่านล่าเลเซอร์ในแนวตั้ง เมื่อล่าเลเซอร์วิงผ่านแบบจำลองในส่วนที่แทนกลีเซอริน ล่าเลเซอร์ก็ยังคงตกลงบนโพโต้ไดโอด แต่เมื่อเคลื่อนแบบจำลองขึ้นไปอีก ล่าเลเซอร์ก็เริ่มวิงผ่านจุดยอดของฟองอากาศ สัญญาณความต่างศักย์จะเริ่มมีแนวโน้มลดลง เพราะว่าล่าเลเซอร์วิงตัดผ่านตัวกลางต่างชนิดกัน ทำให้มีการสะท้อนและหักเหของล่าเลเซอร์ออกไปแนวเดิม ความเข้มแสงที่ตกลงบนโพโต้ไดโอดจึงน่าจะมีค่าลดลง

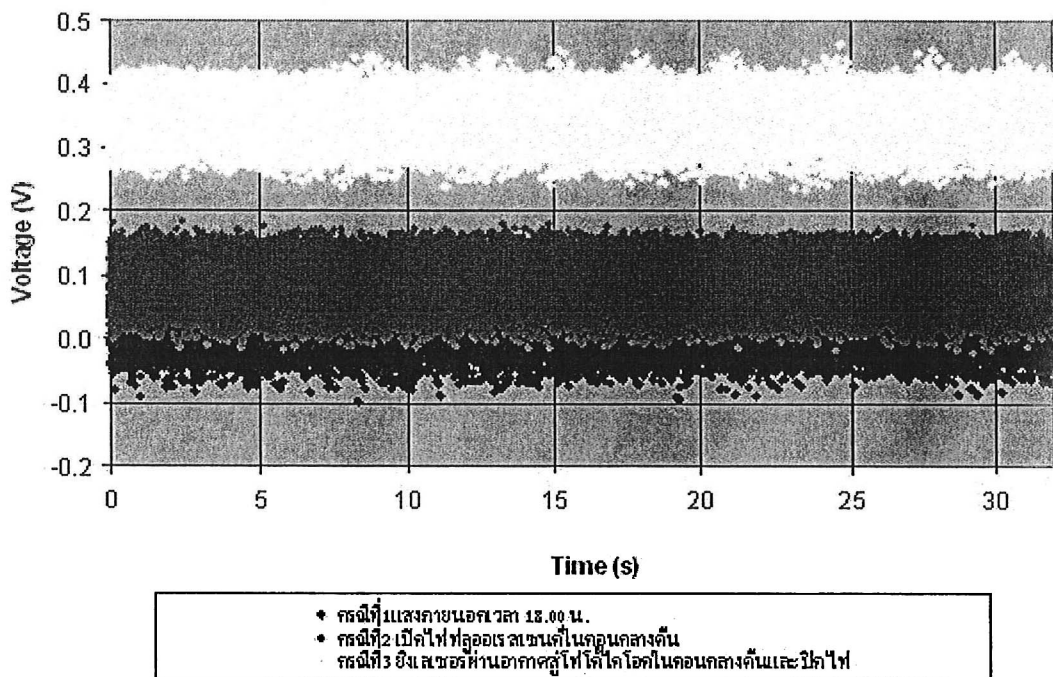
ข้อเสียของการใช้โต๊ะปรับระดับที่ปรับด้วยมือนี้ คือขนาด resolution ประมาณ 0.08 ม.ม. ก็ยังไม่สูงพอเมื่อเทียบกับสิ่งที่กำลังศึกษาอยู่ ซึ่งปัญหานี้อาจจะแก้ไขได้โดยเปลี่ยนไปใช้ชุดเลื่อนตัวแหน่ง (traverse) ที่ขับเคลื่อนด้วยมอเตอร์ไฟฟ้าและควบคุมผ่านระบบคอมพิวเตอร์แทน โดยการเลื่อนแบบจำลองฟองอากาศตัดกับลำแสงเลเซอร์ที่ได้เซ็นเซอร์ไว้ก่อนล่วงหน้าแล้วเมื่อใช้ sampling frequency ที่ค่อนข้างสูงและความเร็วของชุดเลื่อนตัวแหน่งที่คงที่แล้ว ผู้ทดลองจะสามารถย้อนกลับไปหาตัวแหน่งของแสงเลเซอร์บนฟองอากาศได้ แต่อย่างไรก็ตาม เนื่องจากไม่ทราบค่าความเร็วที่แน่นอนได้และถึงแม้จะทำการสอนเทียบความเร็วไว้ก่อนได้ ค่าความเร็วที่นำมาได้ก็เป็นเพียงความเร็วเฉลี่ยเท่านั้นท่าให้การย้อนกลับไปหาตัวแหน่งของลำเลเซอร์ที่ตั้งกระหบบนฟองอากาศอาจจะไม่แม่นยำนัก

อย่างไรก็ตาม การทดลองด้วยวิธีการหันส่องแบบได้ฤกษ์เดรียมชั้น และทำการทดลองในเบื้องต้นแล้วนำผลมาเปรียบเทียบกัน พบว่าลักษณะสัญญาณจากหันส่องการทดลองมีลักษณะแนวโน้มที่ใกล้เคียงกันมาก ดังนั้นในการทดลองนี้จะใช้โต๊ะปรับระดับในการเลื่อนตัวแหน่งฟองอากาศเพื่อจะทำให้ทราบตัวแหน่งของการวัดที่แน่นอน

3.2.3 การดำเนินการสอบเทียบและสภาวะการทดลอง

ปัจจัยที่จะมีผลต่อการทดลองได้แก่ อุณหภูมิซึ่งจะมีผลต่อคุณสมบัติของวงจรไฟฟ้า สนามแม่เหล็กต่าง ๆ ที่จะทำให้เกิดสัญญาณรบกวนในวงจร และแสงไฟในบริเวณที่ทำการทดลอง ซึ่งเป็นปัจจัยสำคัญที่จะทำให้สัญญาณความต่างศักย์ขาออกของวงจรถูกรบกวน โดยทางนักวิจัยได้ทำการทดลองเพื่อทราบถึงผลกระทบของแสงภายนอกที่จะมีผลต่อสัญญาณความต่างศักย์ขาออกของวงจร โดยทดสอบหันส่องแหล่งกำเนิดแสงเลเซอร์คือ เลเซอร์พอยเตอร์และ He-Ne เลเซอร์

การทดลองนี้ทำโดยการเปรียบเทียบสัญญาณขาออกของวงจรที่ได้ออกแบบไว้ในขั้นตอนใน 3 สภาวะคือ สภาวะแรกเป็นการวัดสัญญาณความต่างศักย์ขาออกของวงจรในเวลาปกติ ณ สถานที่ทำการทดลองโดยเปิดหลอดไฟฟลูออเรสเซนต์ (ทำการทดลองในห้องโถง ชั้น 3 ตึกวิศวกรรม 5) สภาวะที่สองเป็นการวัดสัญญาณความต่างศักย์ขาออกของวงจรในช่วงเวลา 18.00 น. ณ สถานที่ทำการทดลองโดยให้แสงภายนอกอาคารตั้งกระหบไฟฟลูออเรสเซนต์ โถงโถด และสภาวะที่สาม เป็นการวัดสัญญาณความต่างศักย์ขาออกของวงจรในช่วงเวลา 20.00 น. จนถึง 24.00 น. เพื่อให้สัญญาณขาออกของวงจรไม่ได้รับผลกระทบจากการเปลี่ยนแปลงของแสงไฟภายนอก ดังนั้นในการทดลองทางนักวิจัยจึงกำหนดการทดลองขึ้นในช่วงเวลาปกติ ณ ห้องโถง ชั้น 3 ตึกวิศวกรรม 5 ตั้งแต่เวลา 20.00 น. จนถึง 24.00 น. เพื่อให้สัญญาณขาออกของวงจรไม่ได้รับผลกระทบจากการเปลี่ยนแปลงของแสงไฟภายนอก



รูปที่ 3-15 สัญญาณความต่างศักย์ข้าอกของวงจรในการทดลองเพื่อหาผลกระทบของแสงจากภายนอกต่อผลของสัญญาณข้าอกของวงจร

สำหรับผลการทดลองด้วย He-Ne เลเซอร์ขนาด 10 mW ได้แสดงไว้ในคอลัมน์สุดท้ายของตารางที่ 3-3 เป็นกรณีที่ 4 พบว่าความต่างศักย์มีค่าสูงถึงประมาณ 15.3 โวลต์หรือคิดเป็น 30.3 เท่า ของกรณีที่ใช้เลเซอร์พอยเตอร์ ดังนั้นในการทดลองที่ใช้ He-Ne เลเซอร์จะมีค่า signal-to-noise ratio ประมาณ 190 เท่า ซึ่งมีค่าสูงมาก

ตารางที่ 3-3 ความต่างศักย์ไฟฟ้า (กรณีที่ 1 ไฟฟ้าอุณหภูมิ, กรณีที่ 2 ไฟจากภายนอกอาคาร เวลา 18.00 น., กรณีที่ 3 เลเซอร์พอยเตอร์, กรณีที่ 4 He-Ne เลเซอร์ขนาด 10 mW)

พารามิเตอร์	กรณีที่ 1	กรณีที่ 2	กรณีที่ 3	กรณีที่ 4
ค่าเฉลี่ย (โวลต์)	0.022	0.098	0.346	15.3
ค่าเบี่ยงเบนมาตรฐาน (โวลต์)	0.032	0.031	0.031	0.08
อัตราส่วนค่าเฉลี่ยต่อค่าเฉลี่ยของกรณีที่ 3	0.06	0.28	1.00	44.22

จะเห็นได้ว่าการออกแบบการทดลองข้างต้นที่กล่าวมาก่อนหน้านี้ ทางผู้วิจัยได้พยายามออกแบบส่วนประกอบและสภาพการทดลองให้มีสัญญาณการรับกวนน้อยที่สุด ตามหลักการทำงานของโฟโต้ไดโอดนั้นถ้าไม่มีแสงตกกระทบโฟโต้ไดโอดเลย จะมีกระแสไฟฟ้าที่ไหลในวงจร (dark current) น้อยมากโดยสำหรับโฟโต้ไดโอดที่ใช้ในการทดลองนี้ จะมีค่า dark current ไม่เกิน 30 นาโนแอมเปอร์ ซึ่งน้อยจนออกซิลิโอลสโคปที่ใช้ในการทดลองไม่สามารถตรวจวัดได้ แต่ใน

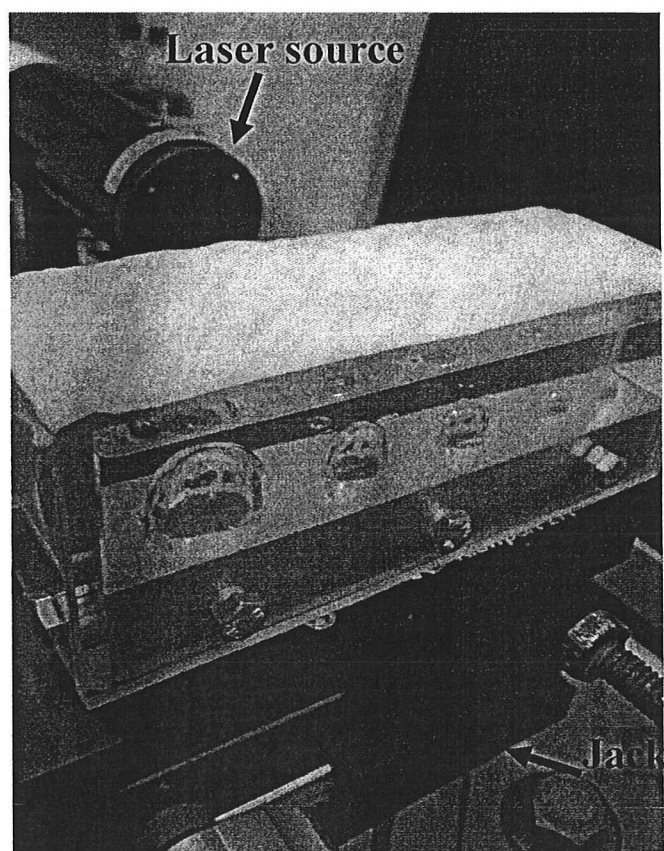


การทดลองจริงถึงแม้จะเป็นช่วงเวลากลางคืนก็ยังมีแสงอันนอกเหนือจากแสงเลเซอร์อยู่บ้างเล็กน้อย

ในส่วนของอุณหภูมนั้น เนื่องจากได้เลือกใช้ช่วงเวลาในการทดลองในห้องปรับอากาศที่สามารถควบคุมอุณหภูมิให้คงที่ได้ และทุกการทดลองจะทำในช่วงเวลากลางคืนตั้งแต่เวลา 20.00 น. จนถึง 24.00 น. ซึ่งอุณหภูมิจะไม่เปลี่ยนแปลงมากนัก ซึ่งจะประมาณได้ว่าอุณหภูมิที่ต่างกันในการทดลองแต่ละครั้งน้อยและไม่ส่งผลกระทบต่อการทดลอง ส่วนสนามแม่เหล็กต่างๆ นั้นได้หลีกเลี่ยงโดยพยายามนำอุปกรณ์ไฟฟ้าที่เกี่ยวข้องกับการทดลองได้แก่แหล่งจ่ายไฟฟ้าและօโซโลสโคปวางให้ห่างจากตัววัดในระหว่างทำการทดลอง

3.2.4 ผลการทดลอง

การทดลองได้ดำเนินการด้วยพารามิเตอร์ต่าง ๆ ดังนี้ ใช้ไฟโต้ไดโอดทรงกระบอก มีค่าความต้านทานในวงจร $10 \text{ k}\Omega$ มีค่าความต่างศักย์ย้อนกลับ $10-12$ โวลต์ ใช้เลเซอร์สีแดงขนาด 10 mW และระยะห่างระหว่างเลเซอร์และไฟโต้ไดโอดคงที่เท่ากับ 20 cm . ทำให้มีระยะระหว่างแบบจำลองฟองอากาศกับไฟโต้ไดโอดเท่ากับ $10-12 \text{ cm}$. (ขึ้นกับขนาดฟองอากาศ) และใช้ sampling frequency เท่ากับ 200 Hz โดยชุดทดลองแสดงไว้ในรูปที่ 3-16



รูปที่ 3-16 ชุดทดลองที่พร้อมทำการทดสอบ

ในการทดลองนี้ ได้ทำการฉาบแสงเลเซอร์ผ่านแบบจำลองในสภาวะที่ค่อนข้างมีดโดยจะทำการปิดไฟในบริเวณที่ทำการทดลองและทำการทดลองในเวลากลางคืน เพื่อทำให้ผลกระทบจากแสงภายนอกน้อยที่สุด และทำการทดลองสำหรับแต่ละขนาดฟองอากาศเป็นจำนวน 5 ครั้ง

การทดลองจะเริ่มจากการยิงเลเซอร์ผ่านแบบจำลองในส่วนที่ไม่ได้เป็นฟองอากาศแล้วทำการเก็บค่าสัญญาณความต่างศักย์ของวงจรได้โดยไว้ โดยปกติแล้วค่าความต่างศักย์ที่บริเวณนี้จะมีค่าสูงที่สุดเมื่อเทียบกับต่าแห่งอื่น ๆ และจะมีค่าประมาณ 14-15 โวลต์ แล้วเลื่อนแบบจำลองขึ้นที่ละ $80 \text{ } \mu\text{m}$ ($\pm 10 \text{ } \mu\text{m}$) และบันทึกค่าสัญญาณความต่างศักย์ที่ละต่าแห่งจนสัญญาณที่ได้มีค่าใกล้เคียงกับสัญญาณรบกวนจึงหยุดการเก็บค่า โดยเก็บสัญญาณที่ต่าแห่งละ 1,000 ค่า แล้วจึงนำค่าสัญญาณดังกล่าวมาทำการหาค่าเฉลี่ยและค่าความแปรปรวนที่แต่ละต่าแห่งซึ่งจากการทดลองพบว่า ค่าความแปรปรวนจะมีค่าประมาณ 0.06 - 0.08 โวลต์ทุกการทดลอง โดยมีวิธีการวิเคราะห์ข้อมูลดังนี้

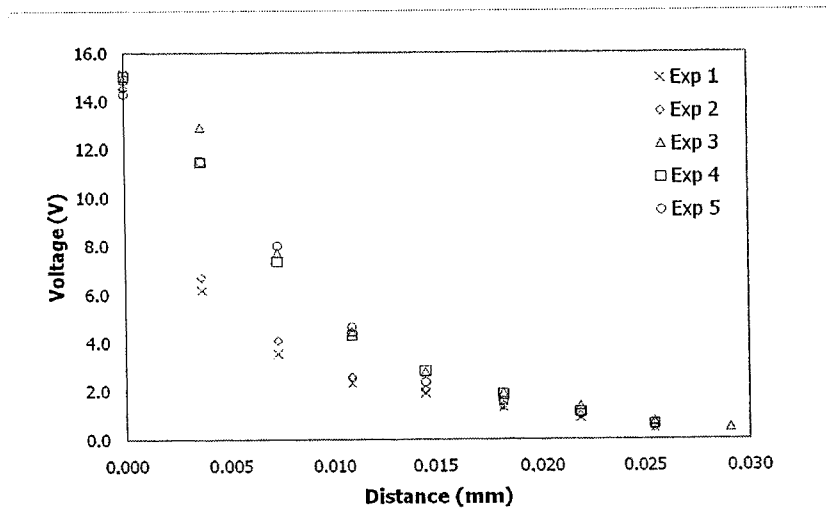
- (1) หากค่าจุดเริ่มต้นและจุดสุดท้ายของข้อมูล ซึ่งจุดเริ่มต้นเป็นจุดทดลอง (มีความต่างศักย์ประมาณ 14-15 V) ก่อนที่ขนาดความต่างศักย์จะลดต่ำลง (ลดต่ำลงมากกว่า 0.4 โวลต์) และจุดสุดท้ายเป็นจุดทดลอง (มีความต่างศักย์ประมาณ 0.4 โวลต์ ซึ่งสูงกว่าค่าความแปรปรวนประมาณ 5 เท่า)
- (2) นำเอาค่าความต่างศักย์ที่จุดเริ่มต้นไปหารค่าความต่างศักย์ที่ต่าแห่งอื่นๆ (normalized voltage จะมีค่า 0-1)
- (3) นำเอาค่าระยะทางของจุดสุดท้ายไปหารระยะทางของจุดอื่น ๆ (normalized distance จะมีค่า 0-1)

จากการทดลองพบข้อสังเกตว่าระยะห่างจากฟองที่จะทำให้สัญญาณในวงจรนั้นมีค่าเท่ากับสัญญาณรบกวนในวงจรนั้น มีค่าไม่เกิน 1 ม.m. สำหรับทุกรถ ซึ่งเป็นระยะทางที่สั้นมาก เมื่อเทียบกับขนาดรัศมีของแบบจำลองฟอง โดยยิ่งฟองมีขนาดเล็กระยะดังกล่าวจะยาวมากขึ้น และตารางที่ 3-4 แสดงระยะทางเฉลี่ย และอัตราส่วนของขนาดของฟองอากาศ

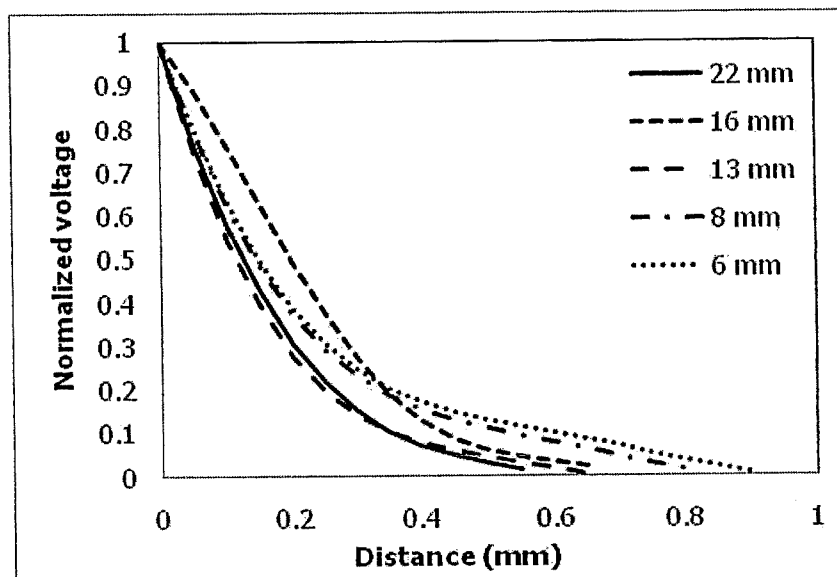
ตารางที่ 3-4 ผลการทดลองแสดงระยะทางที่สัญญาณความต่างศักย์ลดลงใกล้เคียงศูนย์

ขนาดเส้นผ่านศูนย์กลางฟองอากาศ (ม.m.)	รัศมีความโค้ง (ม.m.)	ระยะทางที่สัญญาณความต่างศักย์ลดลงใกล้ศูนย์ (ม.m.)	อัตราส่วนกับขนาดของรัศมีฟองอากาศ
22	11	0.58	0.05
16	8	0.67	0.08
13	6.5	0.66	0.10
8	4	0.85	0.21
6	3	0.94	0.31

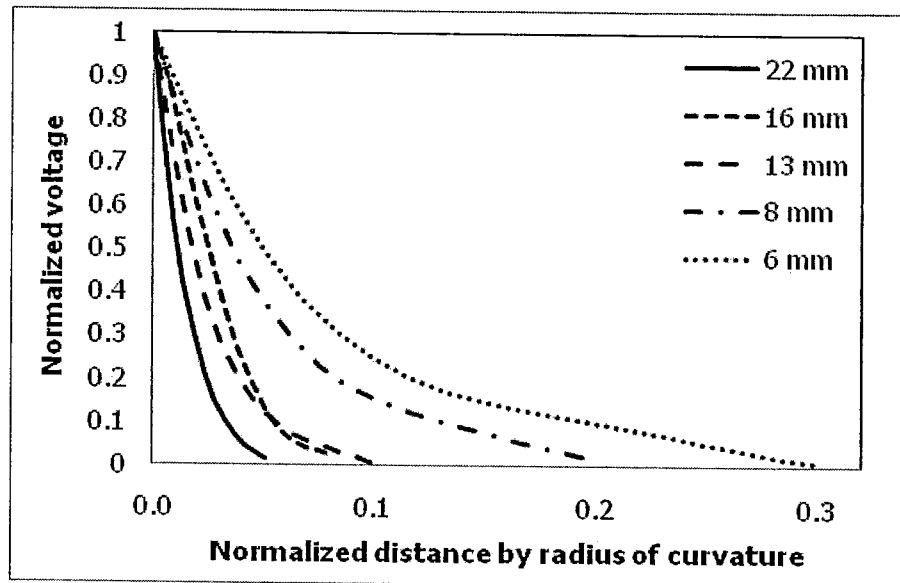
ตัวอย่างผลการทดลองของแต่ละขนาดฟองอากาศได้แสดงไว้ในรูปที่ 3-17 ซึ่งแสดงผลการทดลองทั้ง 5 ครั้งของฟองอากาศขนาด 22 ม.ม. จะเห็นว่าลักษณะของสัญญาณจะมีแนวโน้มสองแบบค่อนข้างชัดเจนในช่วงแรก (แนวด้านบนและล่าง) ซึ่งน่าจะเกิดจากมี resolution ของการเลื่อนตำแหน่งที่ค่อนข้างหยาบอยู่ หลังจากนั้นเมื่อหาค่าเฉลี่ยของทั้งห้าการทดลองสำหรับแต่ละฟองอากาศแล้ว ผลการทดลองได้นำมาเปรียบเทียบไว้ในรูปที่ 3-18 ถึง 3-20 โดยรูปที่ 3-18 แสดงผลการทดลองของค่า normalized voltage ที่นิยามด้วยการหารค่าความต่างศักย์ไฟฟ้าที่ตำแหน่งใด ๆ ด้วยความต่างศักย์ไฟฟ้าเมื่อล่าเลเซอร์อยู่ที่ตำแหน่งก่อนผ่านฟองอากาศกับระยะจากปลายยอดฟอง สำหรับรูปที่ 3-19 แสดงผลการทดลองที่ normalized ระยะจากปลายยอดฟองด้วยขนาดรัศมีของฟองอากาศ และรูปที่ 3-20 แสดงการ normalized ระยะจากปลายยอดฟองด้วยระยะทางที่ความต่างศักย์ลดลงจนเข้าใกล้ศูนย์



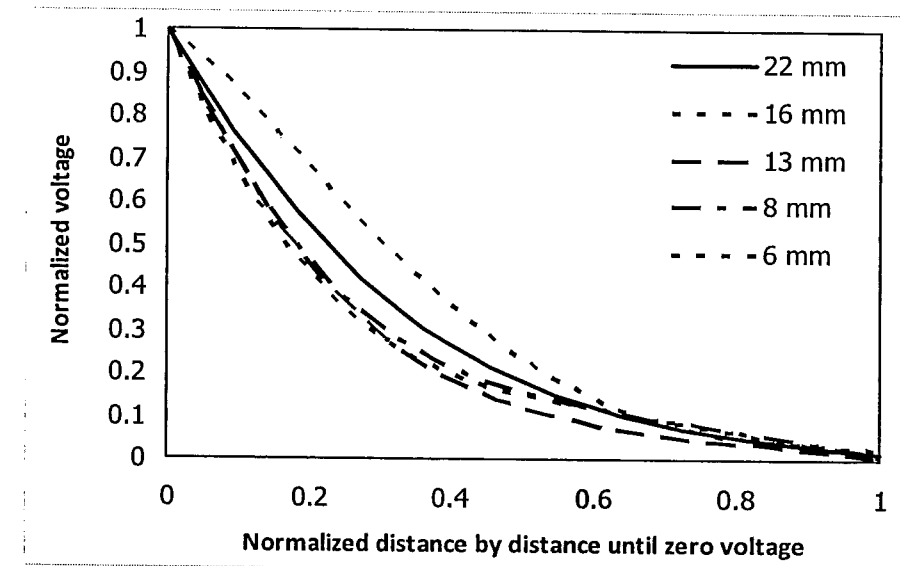
รูปที่ 3-17 ผลการทดลองทั้งหมดของแบบจำลองฟองอากาศขนาด 22 ม.ม.



รูปที่ 3-18 แนวโน้มเฉลี่ยของสัญญาณความต่างศักย์ที่ลดลง ตามระยะทางจากปลายยอดฟองอากาศ สำหรับทุกขนาดแบบจำลองฟองอากาศ



รูปที่ 3-19 แนวโน้มเฉลี่ยของสัญญาณความต่างศักย์ที่ลดลง ตามระยะทางจากปลายยอดฟองที่ถูก normalized ด้วยรัศมีความโค้งของฟองอากาศ



รูปที่ 3-20 แนวโน้มเฉลี่ยของสัญญาณความต่างศักย์ที่ลดลง ตามระยะทางจากปลายยอดฟองที่ถูก normalized ด้วยระยะจากปลายยอดฟองจนถึงระยะที่ความต่างศักย์ลดลงจนใกล้ศูนย์

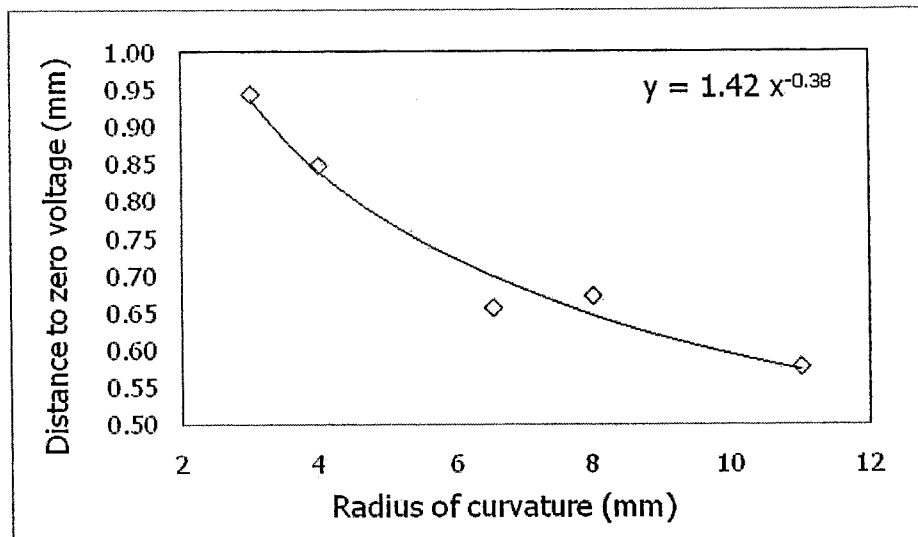
จากรูปที่ 3-19 เป็นกราฟเมื่อเปรียบเทียบผลการทดลองทุกรายการณ์ด้วยการพื้นอัตราเบรียบเทียบระหว่าง normalized voltage และ normalized distance ที่ใช้รัศมีความโค้งของฟองอากาศเป็นตัวหาร จะพบว่า ลักษณะการลดลงของค่า normalized voltage จะเกิดขึ้นอย่างมากในช่วงแรก โดยทุกรายการณ์ความต่างศักย์จะลดลงครึ่งหนึ่งภายในระยะทางเพียง 10% ของรัศมีความโค้งอย่างไรก็ตาม สำหรับฟองอากาศขนาดเล็กลักษณะการลดลงของสัญญาณความต่างศักย์จะเกิดข้ากกว่าฟองอากาศขนาดใหญ่ไปตามระยะ normalized distance นี้ นอกจานนั้นแล้ว สำหรับฟองอากาศทุกขนาดจะมีระยะที่ความต่างศักย์ลดลงจนใกล้ศูนย์ภายในระยะเพียง 30% ของรัศมี

ความโค้ง โดยที่ฟองอากาศขนาด 22, 16, และ 13 ม.ม. จะมีระยาน์ไม้ถึง 10% ของรัศมีความโค้ง ส่วนรับฟองอากาศขนาด 8 ม.ม. มีระยาน์ประมาณ 20% และฟองอากาศขนาด 6 ม.ม. มีระยาน์ประมาณ 30%

จากรูปที่ 3-20 เป็นผลการทดลองสำหรับทุกกรณีเมื่อเปรียบเทียบไปกับ normalized distance ด้วยระยะทางที่สัญญาณลดลงจนเข้าใกล้ศูนย์ พบว่าทุกขนาดฟองอากาศจะมีแนวโน้มการลดลงของสัญญาณที่ทำ normalized แล้วคล้าย ๆ กัน โดยสัญญาณจะลดลงอย่างรวดเร็วในช่วงต้นและค่อย ๆ ข้าลงในช่วงหลัง และเพียงแค่ครึ่งหนึ่งของระยะการลดลงของสัญญาณทั้งหมด ขนาดสัญญาณความต่างศักย์จะลดลงจนเหลือเพียง 10-20% ของสัญญาณตั้งต้นแล้ว

จากข้อมูลผลการสอบเทียบที่ได้อธิบายไปนั้น หากนำเอาเลเซอร์ลำเดี่ยวไปใช้งานวัดฟองโดยติดตั้งให้ยอดฟองเคลื่อนที่ผ่านล่าเลเซอร์เหมือนกับการสอบเทียบแล้ว จะมีแนวทางในการนำเอาระบบเลเซอร์ได้โดยไปใช้งานใน 4 ลักษณะดังนี้

- (1) ใช้ตรวจสอบว่าขนาดฟอง (อัตราส่วนระหว่างขนาดฟองอากาศต่อขนาดล่าแสงเลเซอร์) อยู่ในช่วงที่ทำการสอบเทียบได้ โดยดูจากข้อมูลความต่างศักย์ที่ลดลงตามเวลาที่ถูก normalized ด้วยช่วงเวลาที่ความต่างศักย์ลดลงจนใกล้ศูนย์ (คล้ายกับกราฟในรูปที่ 3-20 แต่แกนนอนเป็นเวลา) ว่าสอดคล้องเป็นแนวโน้มเดียวกันหรือไม่ โดยในการวัดจริงจะทราบความสัมพันธ์ระหว่างความต่างศักย์ไฟฟ้าและเวลา หากความเร็วของการไหลคงที่ความสัมพันธ์ดังกล่าวจะเปลี่ยนเป็นความสัมพันธ์ระหว่างความต่างศักย์ไฟฟ้าและระยะทางได้
- (2) หากผลการวัดสอดคล้องกับข้อที่ (1) และ ใช้ตรวจสอบว่ามีการเปลี่ยนแปลงเกิดขึ้นกับการไหลได้ หากแนวโน้มการลดลงของค่าความต่างศักย์มีแนวโน้มเปลี่ยนแปลงไป แต่อย่างไรก็ตามก็อาจจะเป็นไปได้ 2 ลักษณะคือ มีการเปลี่ยนแปลงขนาดฟองหรือการเปลี่ยนแปลงความเร็วของการไหลในลักษณะที่มีความเร่งไม่เท่ากับศูนย์ (ตอนทำการสอบเทียบเปลี่ยนเสมีอนว่าไม่มีความเร่ง) หรือมีการเปลี่ยนแปลงทั้งสองอย่างพร้อมกัน
- (3) การไหลที่รักขนาดฟองแน่นอน เช่น การไหลในห่อ เมื่อใช้เลเซอร์ลำเดียววัด ผู้ทดลองอาจจะทราบความเร็วของไหลได้โดยดูจากเวลาที่ความต่างศักย์ลดลงจนเข้าใกล้ศูนย์ จากตารางที่ 3-4 จะได้ความสัมพันธ์ระหว่างระยะที่ความต่างศักย์ลดลงจนใกล้ศูนย์กับขนาดของฟองอากาศ ดังแสดงในรูปที่ 3-21 ดังนั้นเมื่อทราบขนาดฟองอากาศที่แน่นอนจะทำให้ทราบว่าระยะเท่าใดความต่างศักย์จะลดลงจนใกล้ศูนย์ (ซึ่งเป็นฟังก์ชันของอัตราส่วนระหว่างล่าเลเซอร์และขนาดฟองอากาศด้วย) และจากการวัดจะทำให้ทราบเวลา ทำให้สามารถคำนวณหาความเร็วของฟองก้าชได้
- (4) การไหลที่รู้ความเร็วฟองแน่นอน ผู้ทดลองจะสามารถทราบขนาดของฟองอากาศได้ เมื่อสังเกตดูเวลาที่ความต่างศักย์ลดลงจนค่าใกล้ศูนย์ โดยอาศัยข้อมูลแบบเดียวกับข้อ (3)



รูปที่ 3-21 ระยะที่ความต่างศักย์ลดลงจนใกล้ศูนย์ สำหรับแบบจำลองฟองอากาศที่มีขนาดรัศมีความโค้งต่าง ๆ

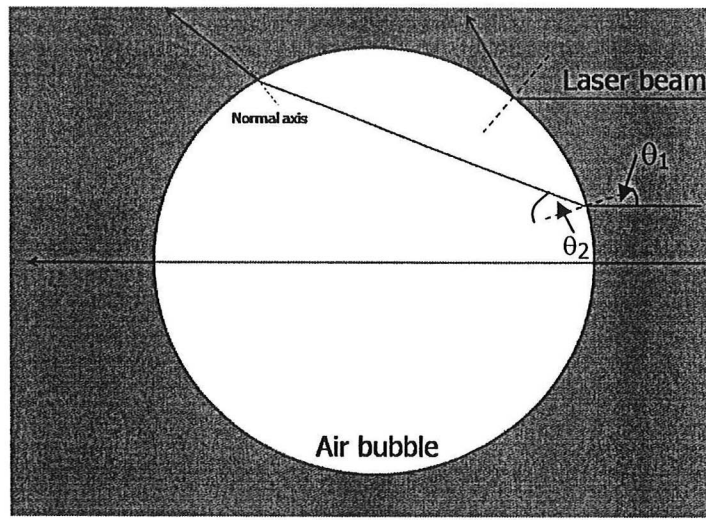
3.3 การหาความสัมพันธ์ด้วยแบบจำลองทางคณิตศาสตร์

แบบจำลองทางคณิตศาสตร์ถูกนำมาใช้เพื่อการวิเคราะห์ผลการทดลองในส่วนที่ผ่านมา ในรายงานฉบับนี้แบบจำลองจะถูกแบ่งเป็น 2 ส่วนคือ แบบจำลองเพื่อหาอนุของล่าแสงเลเซอร์ที่เปลี่ยนแปลงไปเมื่อผ่านฟองอากาศ และแบบจำลองเพื่อหาพื้นที่ที่ฟองอากาศบังล่าแสงเลเซอร์ไม่ให้ผ่านไปตกรอบใดๆ โดยเงื่อนไขและวิธีการของแต่ละแบบจำลองจะกล่าวถึงในส่วนต่อไป

3.3.1 แบบจำลองเพื่อหาอนุของล่าแสงเลเซอร์ที่เปลี่ยนแปลงไป

ในส่วนแรกที่เกี่ยวกับแบบจำลองด้วยสมมติฐานว่าเลเซอร์เป็นล่าแสง (light ray) ขนาดเล็กมากเมื่อเคลื่อนที่ผ่านตัวกลาง 2 ชนิดที่มีค่าดัชนีหักเหไม่เท่ากัน จะเกิดการหักเหหรือสะท้อนกลับหมุนกับมุมตกรอบที่กระทำต่อเส้นตั้งจากพื้นผิวอยู่ต่อของตัวกลางทั้งสอง ซึ่งการศึกษานี้จะมุ่งเน้นไปที่ผลของขนาดรัศมีความโค้งของฟองอากาศทรงกลมในของเหลว และเพื่อความสะดวกจะกำหนดให้ตัวกลางทั้งสองเป็นอากาศและกรีซอลินให้สอดคล้องกับงานในส่วนต่อไป สำหรับปรากฏการณ์ reflection และ absorption จะมีค่าน้อยมากในการศึกษาในส่วนที่ผ่านมา เพราะเมื่อเปรียบเทียบความสัญญาณความต่างศักย์ของวงจรระหว่างกรณีที่มีโนโนเดล PDMS กับกรณีที่ไม่มีโนโนเดล PDMS พบร่วมมีค่าน้อยกว่า 1 % สำหรับกรณีที่ใช้ He-Ne เลเซอร์ 10 mW แต่จะมีค่ามากขึ้นสำหรับกรณีที่ใช้เลเซอร์พอยเตอร์ (ประมาณ 20%)

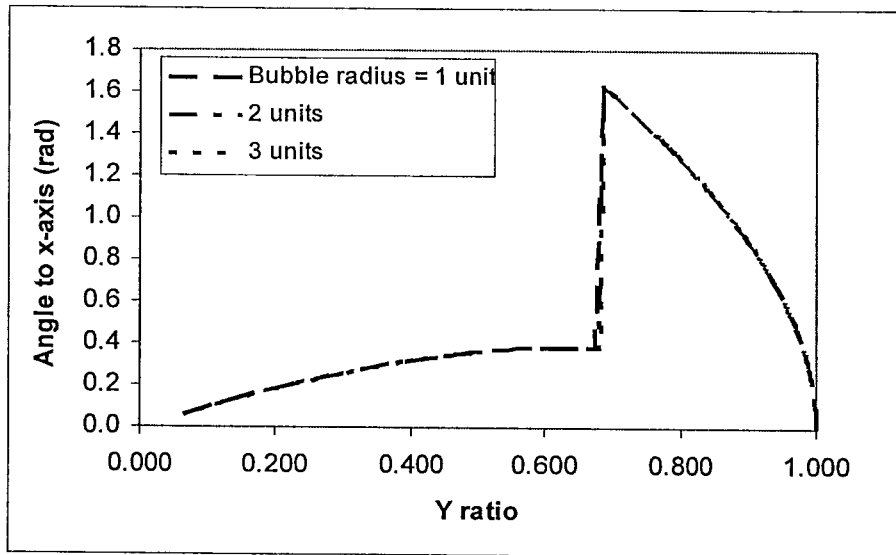
แบบจำลอง 2 มีตีถูกแสดงไว้ในรูปที่ 3-22 มีฟองอากาศทรงกลมและล่าแสงเลเซอร์ที่สมมติว่ามีขนาดเล็กมาก เมื่อล่าแสงตกรอบที่ผิวสัมผัสระหว่างของเหลวสองชนิด จะเกิดการหักเหซึ่งมุมที่หักเหไปจะขึ้นกับมุมที่ตกรอบตาม Law of refraction ($n_1 \sin \theta_1 = n_2 \sin \theta_2$) โดยที่ n_1 และ n_2 คือค่า refractive index ของตัวกลางที่แสงตกรอบและสะท้อนตามลักษณะ ซึ่งปกติจะขึ้นกับความยาวคลื่นของแสงด้วย



รูปที่ 3-22 ล่าแสงเลเซอร์หักเหเมื่อเคลื่อนที่ผ่านฟองอากาศ 2 มิติที่มีค่าดัชนีหักเหแตกต่างจากของเหลวโดยรอบ

ในการศึกษานี้ใช้แสงเลเซอร์ซึ่งมีความยาวคลื่นและอุณหภูมิสิ่งแวดล้อมไม่เปลี่ยนแปลงนัก จึงถือได้ว่าค่า refractive index มีค่าคงที่ ส่วน θ_1 และ θ_2 เป็นมุมตัดกระหนบและมุมสะท้อนที่กระทำต่อแนวตั้งจากของผิวสัมผัสระหว่างตัวกล้องหั้งสอง เมื่อแสงที่หักเหจากผิวสัมผัสแรกไปตกกระหนบที่ผิวสัมผัสอีกด้านหนึ่งก็จะเกิดการหักเหเช่นกัน

ในการศึกษาเบื้องต้นนี้จะวิเคราะห์เรื่องมุมที่ล่าแสงเลเซอร์เปลี่ยนทิศไปเมื่อเคลื่อนที่ผ่านฟองอากาศ โดยจะพิจารณาสำหรับกรณีที่ฟองอากาศวงกลมที่มีขนาดรัศมีความโค้งต่าง ๆ กัน และสมมติแสงเป็นล่าแสงและมีขนาดเล็กมาก ซึ่งกราฟในรูปที่ 3-23 แสดงมุมของล่าแสงที่พุ่งออกจากฟองอากาศ โดยมุมดังกล่าวคือมุมที่กระทำต่อแนวเส้นทางเดิมของเลเซอร์ก่อนตกกระหนบฟองอากาศ โดยแกนนอนแสดงถึงระยะจากยอดฟองที่แสดงเป็นอัตราส่วนกับรัศมีความโค้งของฟองอากาศ สำหรับทุกรัศมีนั้นค่าในแกนนอนเท่ากับ 1 หมายถึงที่ต่ำแห่งปลายยอดของฟองและค่าเท่ากับศูนย์หมายถึงต่ำแห่งที่กึ่งกล่องฟองอากาศ จากผลการคำนวณ พบว่าถ้ามุมของล่าแสงเลเซอร์ที่เคลื่อนที่ผ่านฟองอากาศจะมีลักษณะที่เหมือนกันทุกขนาดฟอง เมื่อล่าแสงเลเซอร์ตกบนฟองอากาศที่ต่ำแห่งสัมพัทธ์ของขนาดฟองที่เดียวกัน



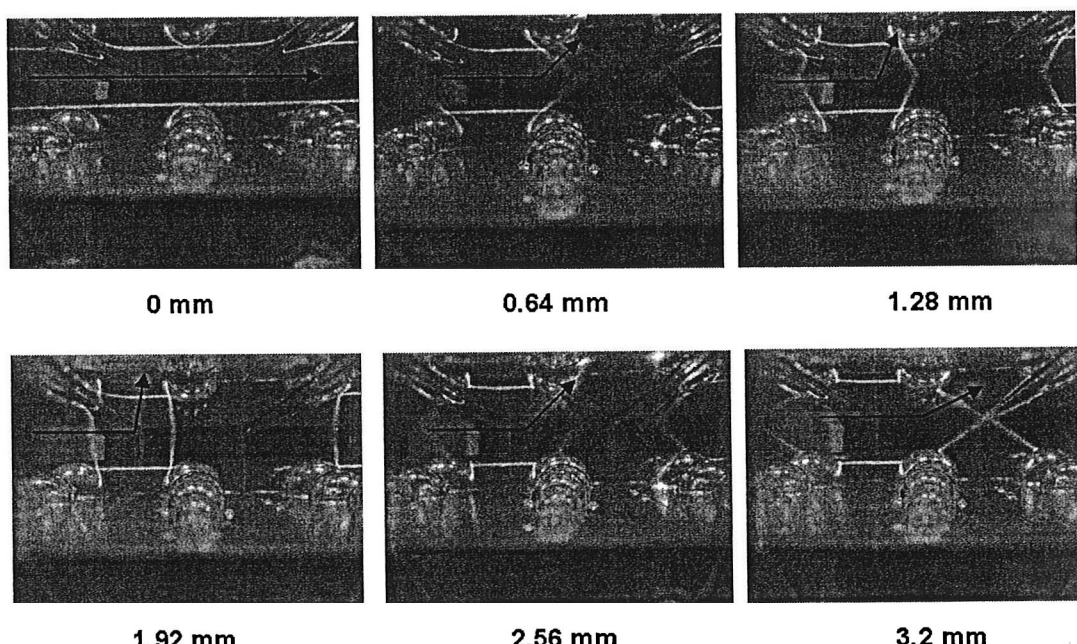
รูปที่ 3-23 ความสัมพันธ์ระหว่างมุมที่ล่าเลเซอร์หล่อผ่านฟองอากาศกระทำกับล่าเลเซอร์ที่ตั้งกรอบฟองอากาศ และต่าแห่งสัมพันธ์บนฟองอากาศขนาดต่าง ๆ

สำหรับทุกรถยี่ เมื่อล่าเลเซอร์เริ่มตั้งกรอบบนฟองอากาศที่บริเวณปลายยอดของฟอง ล่าเลเซอร์จะเกิดการสะท้อนกลับหมด (0 องศา) เนื่องจากมุมตั้งกรอบมากกว่า “critical angle” และเมื่อล่าเลเซอร์เคลื่อนลงไปที่ฐานฟองอากาศมากขึ้นล่าเลเซอร์จะเกิดการหักเหเข้าไปภายในฟองอากาศและหล่อผ่านฟองอากาศสองมาจากการผนังของฟองอีกด้านหนึ่งโดยมีมุมของการเคลื่อนที่เปลี่ยนไปจากตอนก่อนที่จะมากรอบกับฟองและมุมดังกล่าวมีขนาดค่อย ๆ ในญี่ปุ่น และทำมุม 90° ประมาณที่ระยะ 0.6-0.7 เท่าของระยะรัศมีของฟองอากาศ หลังจากนั้น เมื่อเลเซอร์เลื่อนต่าแห่งเข้ามาก็กลางฟองมากขึ้นอีก มุมสะท้อนนี้กลับมีขนาดเล็กลงและค่อย ๆ ลดลงเข้าใกล้ศูนย์

ผลการคำนวณในส่วนนี้ได้นำมาเปรียบเทียบกับผลการทดลองด้วยรูปถ่าย และพบว่าลำดับการหักเหของแสงเลเซอร์สอดคล้องกันดี ดังแสดงในรูปที่ 3-24 โดยมีลักษณะการสะท้อนดังนี้ ก่อนล่าเลเซอร์จะตัดผ่านยอดฟองจะมีทิศทางเป็นแนวตรง หลังจากล่าเลเซอร์ตัดยอดฟองอากาศ จะมีทิศทางหักขึ้นโดยมุมที่ล่าเลเซอร์หักเหไปจะเพิ่มขึ้นเรื่อย ๆ จนกระทั่งเมื่อล่าเลเซอร์ตัดเข้าไปในแบบจำลองฟองอากาศมากขึ้นถึงระยะหนึ่ง ล่าเลเซอร์จะหักเหทำมุม 90 องศา และเมื่อเลยต่าแห่งนั้นไปแล้ว ล่าเลเซอร์จะค่อย ๆ หักเหกลับไปในทิศทางเดิมที่ทำให้ล่าเลเซอร์กลับมามีแนวตรงอีกครั้ง

ผลจากแบบจำลองนี้จะช่วยอธิบายผลการทดลองจริงได้ดังนี้ การเปลี่ยนแปลงค่าความต่างศักย์ ของวงจรได้โดยจะขึ้นกับการเปลี่ยนแปลงของความเข้มของแสงเลเซอร์ที่ตั้งกรอบไฟโต้ไดโอด และจะสอดคล้องกับมุมสะท้อนออกที่คำนวณจากโมเดลด้วย กล่าวคือ หากมุมที่สะท้อนเปลี่ยนไปจากแนวเดิมมาก จะทำให้ล่าเลเซอร์ไม่ตั้งกรอบที่ไฟโต้ไดโอด และทำให้ความเข้มเลเซอร์ที่ไฟโต้ไดโอดตรวจสอบได้มีความเข้มน้อยลง และส่งผลทำให้ค่าความต่างศักย์จากวงจรได้โอดต่ำลง

อย่างไรก็ตาม เมื่อนำผลไปเปรียบเทียบกับผลการทดลองของการวัดความต่างศักย์ในส่วนแรก พนบว่าไม่สอดคล้องกันนัก โดยจากการสอบเทียนสำหรับขนาดฟองต่าง ๆ กันจะมีต่าแห่งง สัมพัทธ์กับขนาดฟองที่ต่างกัน ที่ทำให้ความเข้มเปลี่ยนแปลงไป และในการทดลองความต่างศักย์ จะลดลงเข้าใกล้ศูนย์ดังแต่ระยะใกล้กับปลายฟองอากาศดังแสดงผลในตารางที่ 3-4 แล้ว ซึ่งความแตกต่างนี้น่าจะเกิดจากความเป็นฟอง 3 มิติในการทดลองจริงทำให้เลเซอร์หักเหไปบนอีกรอบหนึ่งด้วยการทำให้การหักเหของแสงมากกว่าค่าจากแบบจำลองคณิตศาสตร์ ตารางที่ 3-5 จะแสดงต่าแห่งงที่แสงเลเซอร์มีการสะท้อนออกที่มุมประมาณ 90° ในการทำทดลองจริงซึ่งพบว่าจะเกิดในช่วงประมาณ 0.09-0.13 เท่าของรัศมีความคงในทุกรอบ



รูปที่ 3-24 ภาพแสดงทิศทางของลำเลเซอร์ที่สะท้อนบนแบบจำลองฟองอากาศขนาด 22 ม.ม. โดยระยะที่ 0 ม.ม. แสดงต่าแห่งงของลำเลเซอร์ที่ตัดปลายยอดฟองอากาศเล็กน้อยแล้ว (ระยะในภาพถ่ายเป็นระยะที่ไม่สอดคล้องกับค่าในตารางที่ 3.5 เป็นการแสดงระยะคร่าวๆ เท่านั้น)

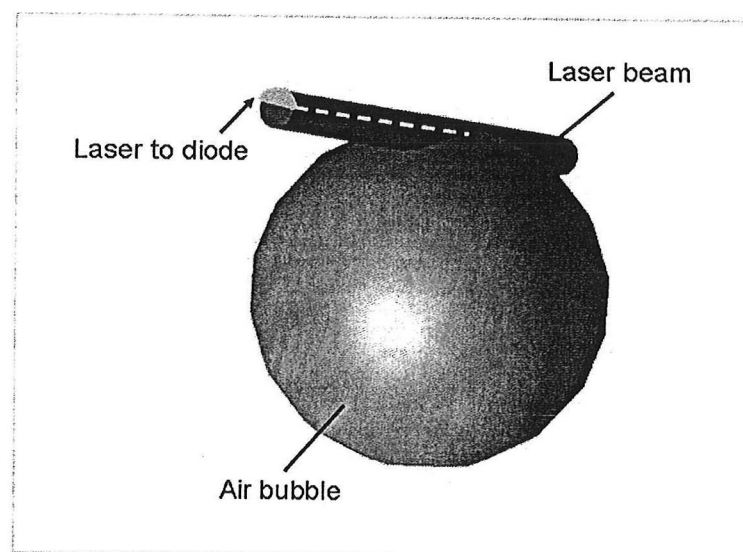
ตารางที่ 3-5 ต่าแห่งงที่เลเซอร์หักเหไป 90° ของจากผลการทดลอง

เส้นผ่านศูนย์กลางของฟอง (ม.ม.)	ต่าแห่งงจากปลายฟอง (ม.ม.)	อัตราส่วนรัศมีของฟอง
22	1.04 ± 0.02	~ 0.09
16	0.88 ± 0.02	~ 0.11
13	0.64 ± 0.02	~ 0.10
8	0.48 ± 0.02	~ 0.12
6	0.40 ± 0.02	~ 0.13

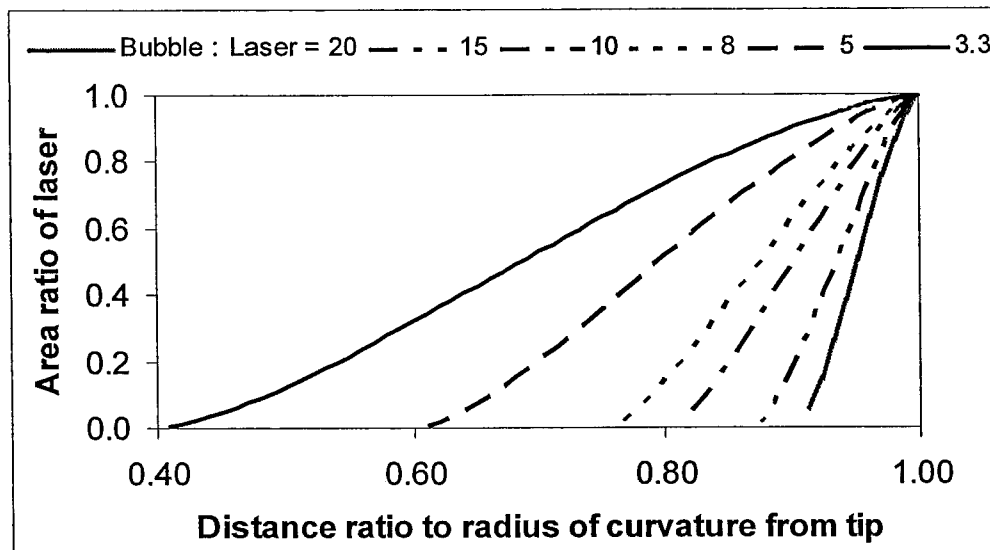
3.3.2 แบบจำลองเพื่อหาพื้นที่ของล่าแสงเลเซอร์ที่ไม่ถูกบังด้วยฟองอากาศ

จากแนวคิดที่ว่าความเข้มของแสงเลเซอร์ที่ตัดกระหบบนไดโอดที่ลดลง อาจจะเกิดจากปรากฏการณ์อื่นที่ไม่ใช่การหักเหของแสงเท่านั้น ในส่วนนี้ ผู้วิจัยจึงมีแนวคิดเพิ่มเติมจากแบบจำลองในส่วนแรกที่ไม่คิดขนาดของล่าเลเซอร์ว่าล่าเลเซอร์มีขนาดเส้นผ่าศูนย์กลางประมาณ 0.65 ม.ม. ในความเป็นจริง เมื่อฟองอากาศเคลื่อนที่เริ่มนัดล่าแสงเลเซอร์ พื้นที่ส่วนหนึ่งของล่าเลเซอร์จะเกิดการสะท้อนและไม่ตัดกระหบได้โดยตามแบบจำลองแรก ในขณะที่อีกส่วนหนึ่งจะยังไม่กระทบฟองอากาศและพุ่งไปตัดกระหบไฟโต้ไดโอด ซึ่งในแบบจำลองนี้จะทำการหาความสัมพันธ์ระหว่างลักษณะของการลดลงของพื้นที่ส่วนที่ล่าเลเซอร์ไม่ถูกฟองอากาศบังกับตำแหน่งที่เลเซอร์ไปตัดกระหบฟองอากาศและเลเซอร์ต่าง ๆ กัน โดยจะหาความสัมพันธ์นี้สำหรับกรณีที่อัตราส่วนของขนาดฟองอากาศและเลเซอร์ต่าง ๆ กัน โดยในเบื้องต้น ผู้วิจัยจะลงทะเบียนผลการเลี้ยวเบนของแสงเลเซอร์ (น่าจะมีผลน้อย) และคิดว่าพื้นที่หน้าตัดของฟองอากาศและล่าเลเซอร์มีรูปร่างเป็นวงกลม ดังแสดงหลักการในรูปที่ 3-25

กราฟในรูปที่ 3-26 แสดงการลดลงของพื้นที่เลเซอร์ส่วนที่ไม่ถูกบังเป็นอัตราส่วนกับพื้นที่เลเซอร์ทั้งหมด สำหรับกรณีต่าง ๆ ซึ่งจะพบว่าระยะจากยอดฟองอากาศที่คิดเป็นอัตราส่วนกับรัศมีของฟองอากาศ ที่ล่าเลเซอร์ถูกบังหมดสำหรับอัตราส่วนของขนาดเลเซอร์และฟองอากาศต่าง ๆ จะไม่เท่ากัน โดยสำหรับกรณีที่ฟองอากาศมีขนาดเท่ากันและเปลี่ยนขนาดของล่าเลเซอร์ไปนั้น กรณีที่ล่าเลเซอร์มีขนาดคงที่และเปลี่ยนแปลงขนาดของฟองอากาศไปนั้น กรณีที่ฟองอากาศเล็กกว่าระยะทางดังกล่าวจะยาวกว่า ระยะทางดังกล่าวจะยาวกว่า หรือในทางกลับกันสำหรับกรณีที่ล่าเลเซอร์มีขนาดคงที่และเปลี่ยนแปลงขนาดของฟองอากาศไปนั้น กรณีที่ฟองอากาศเล็กกว่าระยะทางดังกล่าวจะยาวกว่า ซึ่งสอดคล้องกับผลการทดลอง โดยที่อัตราส่วนของขนาดเป็น 20:1 นั้น (เทียบได้กับแบบจำลองฟองอากาศขนาด 13 ม.ม.) พื้นที่ของเลเซอร์หรือเทียบได้กับความเข้มของเลเซอร์ที่จะตัดกระหบกับไฟโต้ไดโอดและความต่างศักย์ไฟฟ้าตามลำดับ ที่มีค่าลดลงจนเข้าใกล้ศูนย์จะเกิดขึ้นที่ต่ำแห่งประมาณ 0.9 เท่าของรัศมีฟองอากาศ ซึ่งมากกว่าผลการทดลองที่แสดงในตาราง 3-4 เล็กน้อย

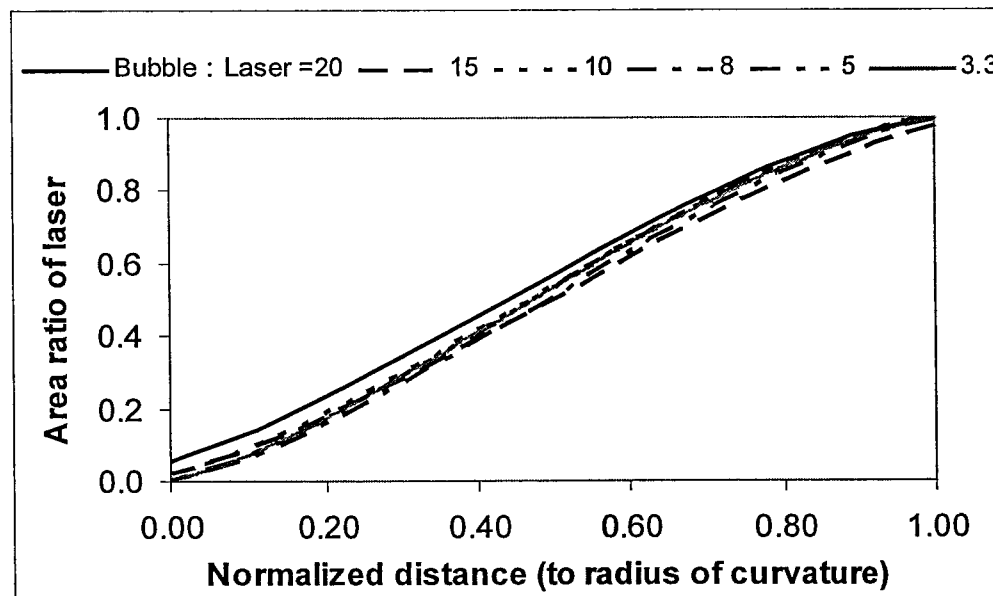


รูปที่ 3-25 หลักการของแบบจำลองที่คำนวณพื้นที่ของล่าเลเซอร์ในส่วนที่ไม่ถูกบังด้วยฟองอากาศและพุ่งไปตัดกระหบเซ็นเซอร์ของไฟโต้ไดโอด



รูปที่ 3-26 อัตราส่วนพื้นที่ที่เหลืออยู่ต่อพื้นที่ทั้งหมดของล่าเลเซอร์ เมื่อขอบล่างของล่าเลเซอร์อยู่บนต่ำแน่นต่าง ๆ บนของฟองอากาศ (รัศมี 1 หน่วย) สำหรับแต่ละขนาดของล่าเลเซอร์

เมื่อนำผลดังกล่าวมาแสดงความสัมพันธ์ในลักษณะที่ทำ normalization ด้วยระยะที่อัตราส่วนดังกล่าวลดลงแล้ว ผลได้แสดงไว้ในรูปที่ 3-27 โดยที่ผลจะคล้ายคลึงกับผลการทดลอง หากสมมติให้อัตราส่วนของสัญญาณความต่างศักย์แปรผันไปกับอัตราส่วนของล่าเลเซอร์ที่ต่อกกระบทบไฟโตได้โดย คือ ทุกขนาดอัตราส่วนของขนาดล่าเลเซอร์และฟองอากาศจะมีความคล้ายคลึงกัน โดยสัญญาณจะค่อย ๆ ลดลงอย่างต่อเนื่อง และที่ต่ำแน่นครึ่งหนึ่งของระยะการลดลงของสัญญาณทั้งหมด ขนาดสัญญาณก็จะลดลงเหลือประมาณ 50% ของสัญญาณตั้งต้น



รูปที่ 3-27 อัตราส่วนพื้นที่ที่เหลืออยู่ต่อพื้นที่ทั้งหมดของล่าเลเซอร์ เมื่อแสดงต่ำแน่นขอบล่างของล่าเลเซอร์เป็นอัตราส่วนกับระยะที่พื้นที่ลดลงจนเป็นศูนย์ สำหรับแต่ละขนาดของล่าเลเซอร์

ดังนั้นมีอิเปรี้ยนเทียบระหว่างผลการวิเคราะห์นี้กับผลการทดลองแล้ว อาจจะสรุปได้ว่าผลของการบังคับเลเซอร์ไม่ให้ตอกกระแทบโพโต้ได้โดยของฟองอากาศ น่าจะเป็นต้นเหตุหลักที่ส่งผลทำให้ความเข้มของเลเซอร์ที่ตอกกระแทบได้ลดลง และท้ายที่สุดทำให้สัญญาณความต่างศักย์ไฟฟ้าจากวงจรไฟฟ้าลดลง อายุงไว้ก็ตามเพื่อเป็นการยืนยันสมมติฐานนี้ อาจจะต้องนำปรากฏการณ์ของแสงที่ชันข้อนามากขึ้น รวมถึงออกแบบการทดลองที่มีความละเอียดมากขึ้นมาช่วยวิเคราะห์ในอนาคต

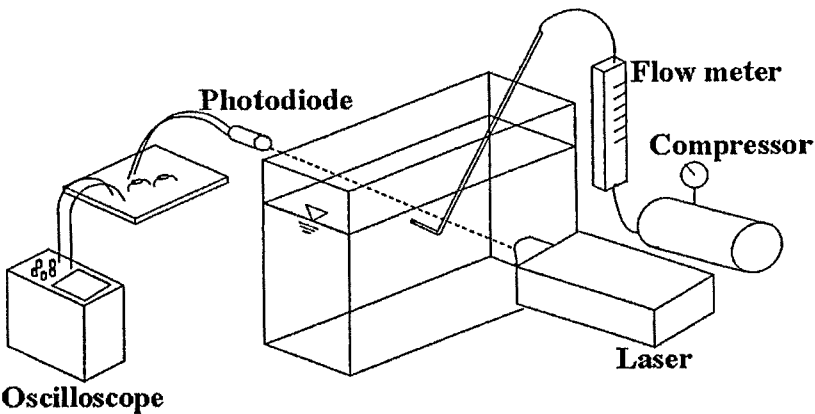
3.4 ผลการทดลองกับการไฟลสองไฟส

การศึกษาในส่วนนี้มีวัดถูกประสงค์เพื่อนำเอาระบบวัดที่ได้พัฒนาขึ้นมาลองใช้วัดรัศมีความโคลงของฟองอากาศจริง โดยของเหลวที่ใช้คือกลีเซอร์린ซึ่งมีค่า reflective index เท่ากับ PDMS ที่เป็นโพลีเมอร์ที่ใช้ทำแบบจำลองฟองอากาศ โดยอากาศจากคอมเพรสเซอร์ถูกปล่อยออกจากห้องอสเซิลที่อุ่น 45 องศา กับแนวระดับ และปล่อยให้ลอยขึ้นในแนวตั้ง สำหรับเหตุผลของการใช้กลีเซอร์린 เพราะเป็นของเหลวที่มีความหนืดสูง และทำให้การเคลื่อนที่ของฟองอากาศไม่เร็วเกินกว่าความสามารถของกล้องวีดีโอแบบธรรมดاجะจับการเคลื่อนที่ได้ทัน

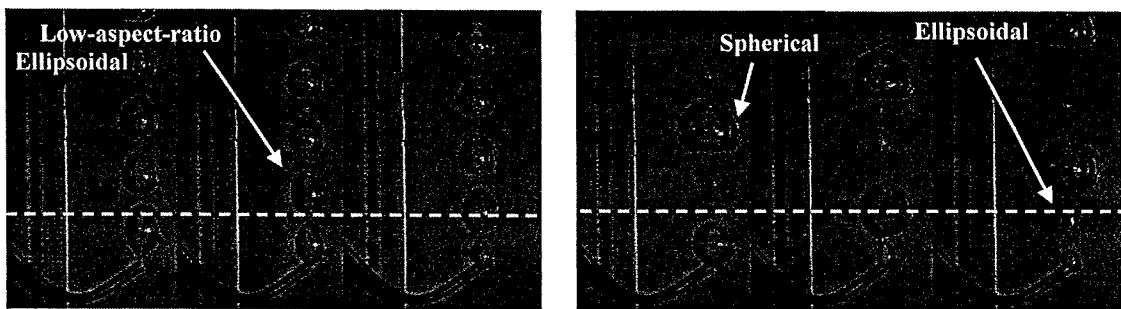
ชุดทดลองประกอบไปด้วยอ่างของเหลวทำจากกระดาษ 4 ม.ม. มีขนาดภายในเป็น $10.3 \times 20.5 \times 17.0$ ล.บ. เชนติเมตร ห้องอสเซิลทำจากสแตนเล斯มีข้องอ 90 องศา และมีเส้นผ่านศูนย์กลางภายใน 1.5 ม.ม. และเส้นผ่านศูนย์กลางภายนอก 2 ม.ม. โดยจะจุ่นให้ปลายของห้องอสเซิลต่ำกว่าระดับผิวน้ำของเหลว 6 เชนติเมตร จากอีกด้านหนึ่งของห้องอสเซิลต่อด้วยสายอากาศที่ต่อ กับคอมเพรสเซอร์ มีวัสดุควบคุมอัตราการไฟลของอากาศ ในการทดลองนี้ได้จัดให้ระยะห่างระหว่างโพโต้ได้โดยกับเลเซอร์ห่างกัน 20 ซ.ม. ผู้ทดลองได้จัดให้ล่าเลเซอร์อยู่เหนือกว่าปากห้องอสเซิลเท่ากับ 6.7 เท่าของเส้นผ่านศูนย์กลางด้านในห้องอสเซิล โดยแผนภาพของชุดทดลองที่ใช้โพโต้ได้โดยได้แสดงไว้ในรูปที่ 3-28

นอกเหนือจากการใช้ระบบเลเซอร์ได้โดยวัดการไฟลแล้ว ยังมีกล้องวีดีโอ และแหล่งกำเนิดแสงเพื่อใช้ในการถ่ายภาพ ซึ่งใช้เทคนิค back-light illumination ด้วยอัตราความเร็ว 25 เฟรมต่อวินาที ด้วยการถ่ายภาพถ่ายนี้ จะได้ข้อมูลของความเร็วเฉลี่ยของการเคลื่อนที่ของฟองอากาศ ด้วยโดยการวัดระยะของฟองเดียวกันในคนละเฟรมที่ต่อเนื่องกันและหารด้วยระยะเวลาที่ใช้ในการถ่ายรูปทั้งสอง (0.04 วินาที) อายุงไว้ก็ตาม ความแม่นยำของการทดลองนี้จะค่อนข้างต่ำ เพราะความเร็วของการถ่ายรูปไม่เร็วพอเมื่อเทียบกับความเร็วของการไฟล

การทดลองนี้ใช้วิธีการเปลี่ยนแปลงรัศมีของฟองอากาศด้วยการเปลี่ยนแปลงอัตราการไฟลของอากาศจากปากห้องอสเซิล อายุงไว้ก็ตามมีข้อจำกัด 2 ประการคือ ฟองที่ไฟลออกมามีลักษณะเป็นวงรี และรัศมีความโคลงของฟองอากาศก็เปลี่ยนได้ล่าบาก ดังแสดงในรูปที่ 3-29 ซึ่งประกอบด้วยฟองอากาศที่มีรูปร่างทรงวงรี (ลูกรักบี้) วงรีที่มีอัตราส่วนความยาวต่อความกว้างน้อยและทรงกลม โดยแต่ละรูปแบบการไฟลเกิดจากสภาพการทดลอง และมีขนาดของฟองอากาศรัศมีความโคลง และความเร็วของการไฟลของฟอง ดังแสดงข้อมูลในตารางที่ 3-6



รูปที่ 3-28 แผนภาพแสดงชุดทดลองที่ประกอบด้วยชุดกำเนิดฟองอากาศ และโฟโต้ไดโอด



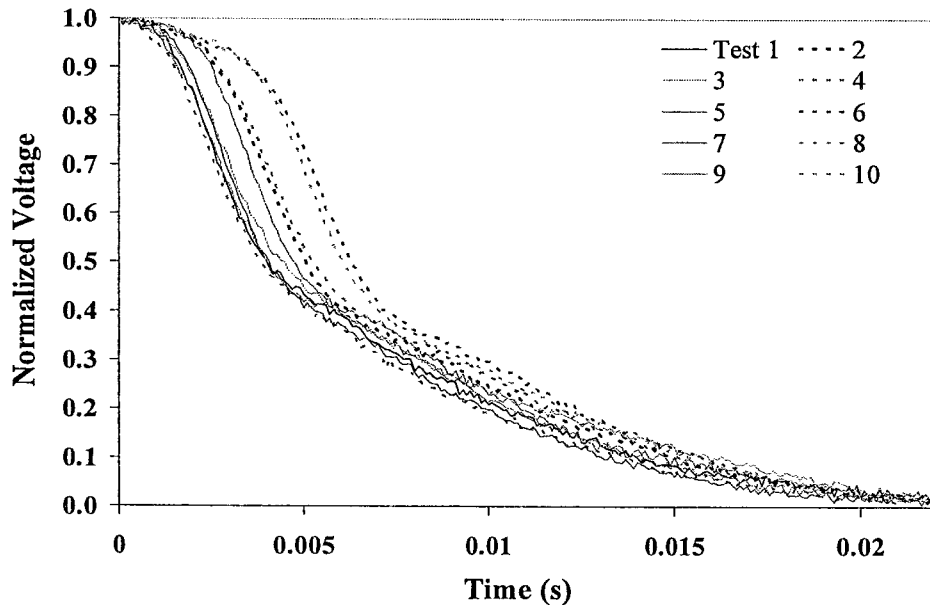
รูปที่ 3-29 ภาพถ่ายลักษณะของฟองอากาศ (ก) วงศ์ที่มีอัตราส่วนน้อย, (ข) วงศ์และทรงกลม

ตารางที่ 3-6 สภาวะการทดลองและรูปร่างฟองอากาศที่เกิดขึ้น

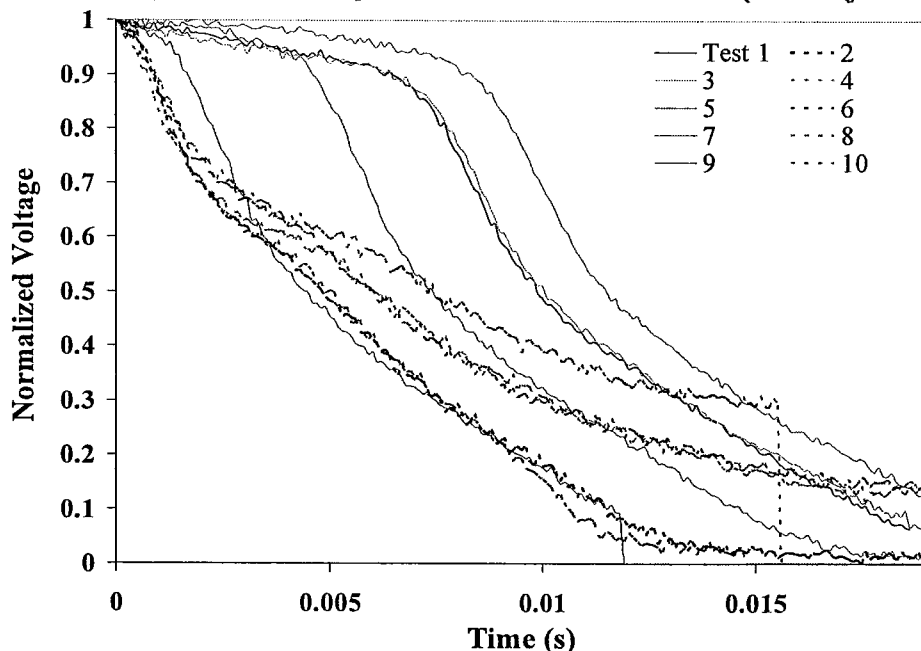
สภาวะที่	อัตราการไหลของอากาศ (l/m)	ความเร็วฟองเฉลี่ย (m/s)	รูปร่างฟอง	รัศมีความโค้งที่ปลายยอดของฟอง ($m.m.$)
1	0.24	0.18	วงศ์ที่มีอัตราส่วนน้อย	2.5
2	0.44	0.20	วงศ์	0.8
3	0.44	0.19	ทรงกลม	6.2

รูปที่ 3-30ก และ ข แสดงสัญญาณความต่างศักย์ที่วัดด้วยความถี่ 10 kHz ที่เปลี่ยนแปลงตามเวลาเมื่อฟองอากาศเคลื่อนผ่านล่าเลเซอร์ที่ยึดกับเวลาสำหรับทั้งสามกรณี และในแต่ละกรณีแสดงผลการทดลองสำหรับ 10 ฟองอากาศ โดยค่าความต่างศักย์นี้จะแสดงเป็นอัตราส่วนกับค่าความต่างศักย์ของวงศ์ก่อนที่ฟองจะเคลื่อนที่ตัดล่าเลเซอร์ ดังนั้นจากกราฟค่าเท่ากับ 1 หมายถึงไม่มีฟองอากาศ และเมื่อค่าเริ่มลดลงหมายถึงฟองอากาศเริ่มเคลื่อนที่ตัดเลเซอร์ สำหรับจุดเริ่มต้นและจุดสุดท้ายจะนิยามคลายคลึงกับการสอนเทียบแต่เปลี่ยนค่าขอบเขตให้มากขึ้นเล็กน้อย เนื่องจากสัญญาณที่อ่านได้มีความแปรปรวนมากกว่า โดยจุดเริ่มต้นจะดูจากการเปลี่ยนแปลงที่มีมากกว่า 5% ของสัญญาณเริ่มต้น และสำหรับจุดสุดที่คิดเป็น 5% ของสัญญาณเริ่มต้นเข่นกัน

รูปที่ 3-30 ก แสดงสัญญาณความต่างศักย์จากการไฟฟ้าเบรี่ยนเทียบตามเวลาสำหรับการทดลอง
พองอากาศแต่ละลูกจะแยกออกจากกันชัดเจนและแต่ละลูกก็มีลักษณะเหมือนกันคือเป็นพอง
อากาศแบบวงรีที่มีอัตราส่วนน้อย และลักษณะสัญญาณความต่างศักย์ก็ไม่ค่อยแปรปรวนมากนัก



(ก) พองอากาศที่มีรูปร่างแบบวงรีที่มีอัตราส่วนน้อย (ทั้งเลขคู่และคี่)



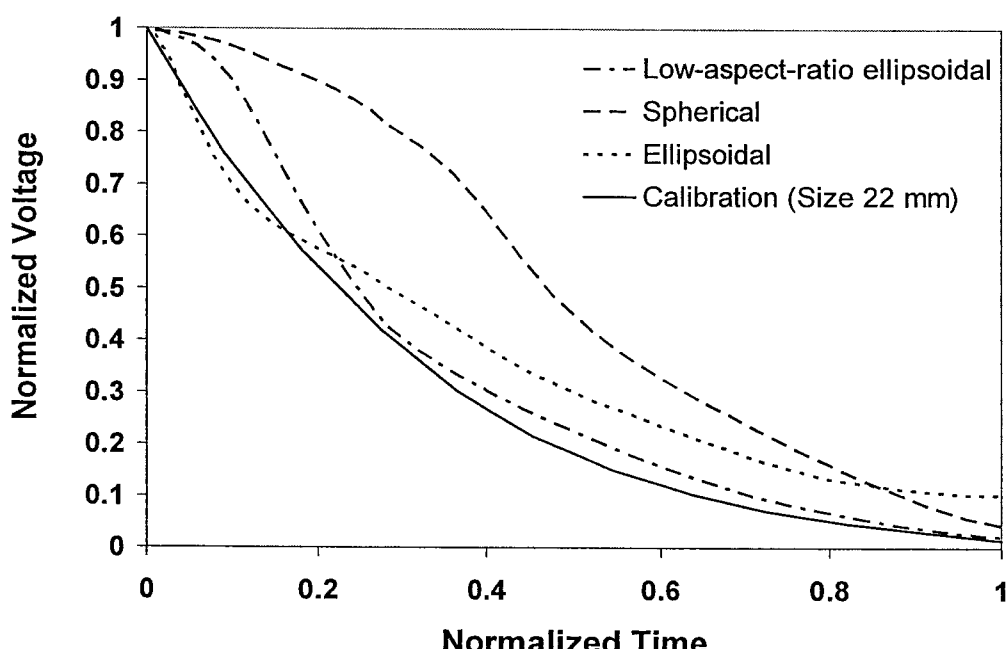
(ข) พองอากาศที่มีรูปร่างแบบวงรี (เลขคู่) และแบบทรงกลม (เลขคี่)

รูปที่ 3-30 ผลการทดลองวัดค่าความต่างศักย์ไฟฟ้าเบรี่ยนเทียบตามเวลาสำหรับการทดลอง

เมื่อพิจารณาสัญญาณความต่างศักย์ของการไฟฟ้าในรูปที่ 3-30 จะพบว่ามีการสลับ
ลักษณะของสัญญาณความต่างศักย์ซึ่งก่อให้เกิดคลื่นกับรูปถ่ายที่จะเกิดฟองอากาศแบบวงรีและ
วงกลมสลับกัน (ตามรูปที่ 3-29) โดยมีความแปรปรวนระหว่างแต่ละฟองค่อนข้างมาก

นอกจากนั้น สัญญาณความต่างศักย์จะไม่ลดลงจนใกล้ศูนย์ในบางกรณีซึ่งอาจเกิดจากการที่ฟองอากาศเคลื่อนที่เมียกออกไปจากแนวของล่าเลเซอร์

รูปที่ 3-31 แสดงผลของการนำสัญญาณในกราฟรูปที่ 3-30 มาหาค่าเฉลี่ย และนำสัญญาณความต่างศักย์มาเทียบกับ normalized time ของทุกรถ และนำไปเปรียบเทียบกับผลการสอบเทียบกรณีฟองอากาศขนาด 22 ม.ม. (รัศมีความโค้ง 11 ม.ม.) กรณีการสอบเทียบถือว่าความเร็วคงที่ดังนี้ ค่า normalized distance จะแปรตามค่า normalized time โดยตรง จึงนำมาเปรียบเทียบกับผลการทดลองของการไฟลจริงได้ จากราฟพบว่ามีแนวโน้มแตกต่างกันเล็กน้อยยกเว้นกรณีที่เป็นฟองอากาศแบบทรงกลมที่มีความแตกต่างค่อนข้างมากกว่ากรณีอื่น ๆ ซึ่งอาจจะเกิดจากการไฟลจริงมีความเร่งของการเคลื่อนที่อยู่ด้วย โดยเฉพาะช่วงที่ฟองอากาศเริ่มลอยตัวขึ้น น่าจะมีความเร่งค่อนข้างสูงมาก



รูปที่ 3-31 ผลการทดลองแสดงแนวโน้มของค่า Normalized voltage ที่ลดลงไปตาม Normalized time (สำหรับการสอบเทียบคิดว่าเป็นกรณีความเร็วคงที่ ดังนั้น Normalized time จะเท่ากับ Normalized distance)

ในส่วนต่อไปจะแสดงให้เห็นข้อจำกัดของการนำอุปกรณ์ไปวัดการไฟลจริง โดยเริ่มจากวิธีการหาค่าความเร็วจากผลการวัดความต่างศักย์ไฟฟ้าที่ได้จากการไฟลจริง โดยมีขั้นตอนดังนี้เริ่มจากการหาระยะเวลาที่สัญญาณความต่างศักย์ลดลงจนใกล้ศูนย์จากผลการทดลองวัดสัญญาณความต่างศักย์ไฟฟ้า หลังจากนั้นหารรัศมีความโค้งของยอดฟองอากาศจากการถ่ายรูปขนาดของฟองอากาศแล้วนำมาคำนวณหาระยะที่ความต่างศักย์ลดลงจนใกล้ศูนย์จากผลการสอบเทียบ (รูปที่ 3-21) และนำมาคำนวณหาความเร็วของการเคลื่อนที่ของฟองอากาศ

สำหรับการวัดรัศมีความโค้งก็นำเสนอค่าความเร็วฟองอากาศจากการถ่ายรูปมาใช้ประกอบซึ่งด้วยหลักการเดียวกันกับที่ได้กล่าวไปแล้วจะสามารถคำนวณหารรัศมีความโค้งของฟองอากาศ

ได้ หลังจากลองทำทั้งสองวิธีแล้วจึงนำผลมาเปรียบเทียบกับความเร็วและรัศมีความโค้งของฟองอากาศที่ได้จากการบันทึกภาพถ่าย และผลการเปรียบเทียบแสดงไว้ในตารางที่ 3-7

อย่างไรก็ตาม ผลการเปรียบเทียบนี้ก็ค่อนข้างจะหยาบ เพราะการประมาณค่าความเร็วของ การไหลและขนาดของฟองที่ได้จากการทดลองจะมีความผิดพลาด โดยค่าความเร็วจะเป็น ความเร็วเฉลี่ยในช่วง 0.04 วินาที และขนาดของรัศมีฟองอากาศที่วัดจากภาพถ่ายก็อาจจะไม่ใช่ ต่าแน่นเดียวกับต่าแน่นที่ฟองอากาศตัดกันล่าเลเซอร์

ตารางที่ 3-7 การเปรียบเทียบความเร็วฟองระหว่างการวัดความต่างศักย์ไฟฟ้าและการถ่ายภาพ

สภาวะที่	ความเร็วจาก การถ่ายภาพ (m/s)	รัศมีความโค้ง จากการถ่ายภาพ (ม.ม.)	เวลาที่ความต่าง ศักย์ลดลงใกล้ ศูนย์ (วินาที)	ความเร็วจากการ วัดความต่างศักย์ (m/s)	รัศมีความโค้ง จากการวัดความ ต่างศักย์ (ม.ม.)
1	0.18	2.5	0.02	0.05	0.09
2	0.20	0.8	0.012	0.13	0.25
3	0.19	6.2	0.018	0.04	0.1

จากการทดลอง พบร่วมกับความเร็วของฟองอากาศที่ได้มาจากการวัดความต่างศักย์ไฟฟ้า จะมีความแตกต่าง 4 - 5 เท่าจากค่าความเร็วที่มาจากการถ่ายภาพ ในขณะที่รัศมีความโค้งของ ฟองอากาศจะแตกต่างกันหลายเท่า โดยความแตกต่างจะมีค่ามากหรือน้อยจะขึ้นกับกรณีไป ซึ่ง การทดลองนี้เป็นเพียงการแสดงให้เห็นหลักการพื้นฐานในการวัดค่าความเร็วของฟองอากาศ ซึ่ง ในความเป็นจริงแล้วรูปร่างฟองอากาศอาจจะไม่ได้เป็นทรงกลมและอาจมีการเปลี่ยนแปลงรัศมี ความโค้งที่ยอดฟองอยู่ตลอดเวลา รวมทั้งการไหลยังมีความเร็วไม่คงที่ ดังนั้นการออกแบบการ ทดลองสำหรับการพิสูจน์หลักการวัดที่เหมาะสมมากขึ้นจึงมีความจำเป็น เช่น รูปร่างฟองที่ควบคุม ได้ และการวัดความเร็วที่แม่นยำขึ้น เพื่อที่จะศึกษาผลในส่วนเหล่านั้นต่อไป

3.5 สุปผลการวิจัย

ในงานวิจัยนี้ มีวัตถุประสงค์เพื่อออกรอบแบบส่วนประกอบต่าง ๆ ของอุปกรณ์เลเซอร์ได้โดย และทำการสอบเทียนกับรัศมีความโค้งของฟองอากาศขนาดต่าง ๆ ซึ่งในการสอบเทียนนี้จะต้อง สร้างแบบจำลองฟองอากาศขึ้นมาจากการ PDMS ซึ่งเป็นแนวทางใหม่ของการสอบเทียนแบบหนึ่ง หลังจากนั้น จึงทำการทดลองหาการตอบสนองของอุปกรณ์เลเซอร์ได้โดยสำหรับรัศมีความโค้ง ต่าง ๆ โดยในการทดลองนี้เลือกใช้เลเซอร์ที่มีเส้นผ่าศูนย์กลาง 0.65 ม.ม. และฟองอากาศมีเส้น ผ่าศูนย์กลาง 22, 16, 13, 8, และ 6 ม.ม.

จากการสอบเทียน ทำให้ว่าทราบระยะจากปลายยอดฟองที่ความต่างศักย์ไฟฟ้าลดลงจน ใกล้ศูนย์ โดยในการศึกษานี้ ระยะดังกล่าวจะแบ่งออกเป็นกับขนาดของรัศมีความโค้งของผิว ฟองอากาศซึ่งสามารถสร้างเป็นสมการที่ใช้อธิบายความสัมพันธ์ระหว่างระยะดังกล่าวและรัศมี ความโค้งของผิวฟองอากาศได้ หลังจากนั้นหากนำเอากราฟความสัมพันธ์ระหว่างค่าความต่าง

ศักย์ไฟฟ้าที่ระยะจากยอดฟองต่าง ๆ มาทำ normalization ด้วยความต่างศักย์ข้าอกจำกว่าจะเมื่อ牢เลเซอร์อยู่เหนือโนยอดฟองสำหรับค่าความต่างศักย์ไฟฟ้า และด้วยระยะหักหมุดที่ความต่างศักย์ลดลงจนเป็นศูนย์สำหรับระยะทางแล้ว ความสัมพันธ์ในลักษณะนี้ของทุกขนาดฟองอากาศจะสอดคล้องกัน ดังนั้นหากนำเอาอุปกรณ์ไปวัดในการให้บริการ สำหรับกรณีที่ฟองอากาศเคลื่อนที่ ด้วยความเร็วคงที่ ลักษณะการลดลงของสัญญาณของทุกขนาดฟองอากาศก็จะสอดคล้องกันหมด (จากผลการทดลองจริง ที่ไม่มีการวัดต่ำแหน่งเบรียบเที่ยบ จะได้ความสัมพันธ์ระหว่างค่าความต่างศักย์ไฟฟ้าและเวลา ซึ่งหากความเร็วคงที่จะทำให้เวลาและระยะทางแปรผันโดยตรง)

ดังนั้นในเมืองตันนี้ ผู้วิจัยคิดว่าจะสามารถใช้อุปกรณ์เลเซอร์ได้โดยแบบล่าแสงเดียวในการวัดการให้บริการได้ดังนี้คือ การตรวจสอบว่าขนาดฟอง (อัตราส่วนระหว่างขนาดฟองอากาศต่อขนาดล่าแสงเลเซอร์) อยู่ในช่วงที่ทำการสอนเที่ยบได้ โดยดูจากข้อมูลความต่างศักย์ที่ลดลงตามเวลาที่ถูก normalized ด้วยช่วงเวลาที่ความต่างศักย์ลดลงจนใกล้ศูนย์ ว่าสอดคล้องเป็นแนวโน้มเดียวกันหรือไม่ หากผลการวัดสอดคล้องแล้ว จะสามารถใช้ตรวจสอบว่ามีการเปลี่ยนแปลงเกิดขึ้นกับการให้บริการได้ หากแนวโน้มการลดลงของค่าความต่างศักย์มีแนวโน้มเปลี่ยนแปลงไป แต่อย่างไรก็ตามก็อาจจะเป็นไปได้ 2 ลักษณะคือ มีการเปลี่ยนแปลงขนาดฟองหรือการเปลี่ยนแปลงความเร็วของการให้บริการในลักษณะที่มีความเร็วไม่เท่ากับศูนย์ หรือมีการเปลี่ยนแปลงทั้งสองอย่างพร้อมกัน

นอกจากนั้น สำหรับการให้บริการที่รู้ขนาดฟองแน่นอน เช่น การให้บริการในห้อง เมื่อใช้เลเซอร์ล่าเดียววัด อาจจะทราบความเร็วของให้บริการได้โดยดูจากเวลาที่ความต่างศักย์ลดลงจนเข้าใกล้ศูนย์ และสำหรับการให้บริการที่รู้ความเร็วฟองแน่นอน จะสามารถทราบขนาดฟองอากาศได้ด้วยหลักการเดียวกัน อย่างไรก็ตามข้อสันนิษฐานเหล่านี้อยู่ภายใต้เงื่อนไขว่าความเร็วของการให้บริการของฟองอากาศต้องคงที่

ในส่วนการอธิบายว่าเหตุใดการลดลงของสัญญาณความต่างศักย์จึงมีแนวโน้มตามที่ได้จากการทดลอง ผู้วิจัยจึงทำแบบจำลองทางคณิตศาสตร์เกี่ยวกับเรื่องแสงชั้นมา และลองเปรียบเทียบผลจากการศึกษาทั้งสองส่วน จากผลการเปรียบเทียบพบว่ากลไกหนึ่งที่น่าจะมีผลโดยตรงคือการที่ปลายยอดของฟองอากาศเคลื่อนที่มั่น牢เลเซอร์ที่ไปตัดกระหนบนได้โดยสำหรับเลเซอร์ที่ไปตัดกระหนบที่ผิวฟองจะสะท้อนออกไปในทิศทางอื่น และมีพื้นที่ของเลเซอร์ส่วนหนึ่งที่ยังพุ่งไปตัดกับโนโพโตได้โดย โดยลักษณะการลดลงของพื้นที่ส่วนนี้จะมีความสัมพันธ์โดยตรงกับพลังงานที่ได้โดยได้รับ และแนวโน้มของการลดลงของพื้นที่นี้จะแตกต่างกันสำหรับฟองอากาศที่มีรัศมีความโถงต่างๆ และมีลักษณะการลดลงสอดคล้องกับลักษณะการลดลงของสัญญาณความต่างศักย์จากผลการทดลอง

ในส่วนสุดท้าย ผู้วิจัยได้ลองสร้างการให้บริการของฟองอากาศจริงขึ้นมา และลองใช้อุปกรณ์เลเซอร์ได้โดยวัดเพื่อพิสูจน์แนวคิดเกี่ยวกับการใช้วัดรัศมีความโถงรวมทั้งความเร็วของการให้บริการ หากทราบพารามิเตอร์อีกอันหนึ่งอยู่แล้ว ผลการทดลองพบว่าผลการวัดผิดไปจากพารามิเตอร์ของ การให้บริการมาก อย่างไรก็ตามการทดลองดังกล่าวอาจจะยังควบคุมขนาดของฟองและความเร็วได้ไม่ดีนัก